

1/45

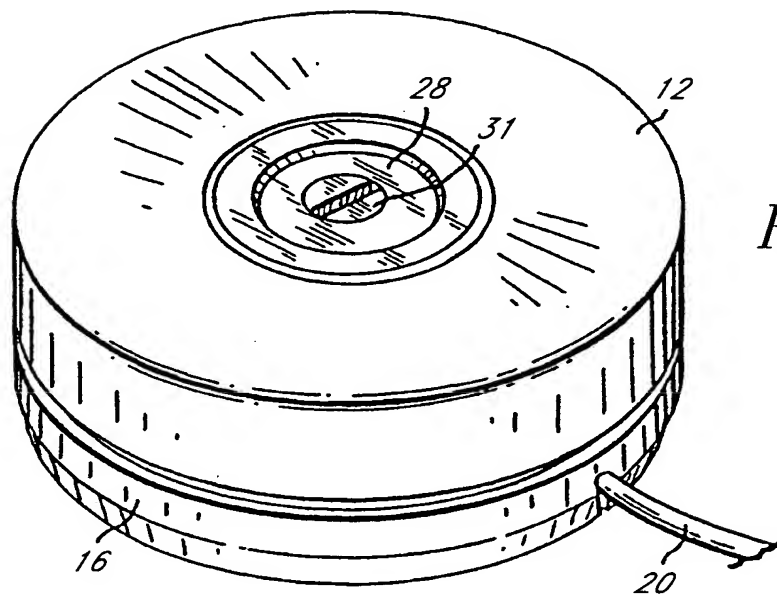


FIG. 1

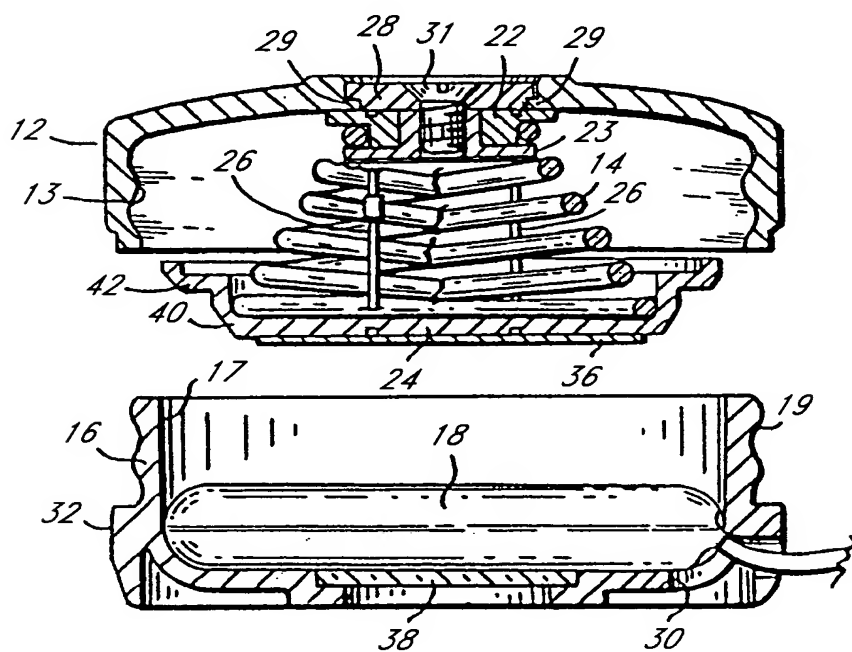


FIG. 2

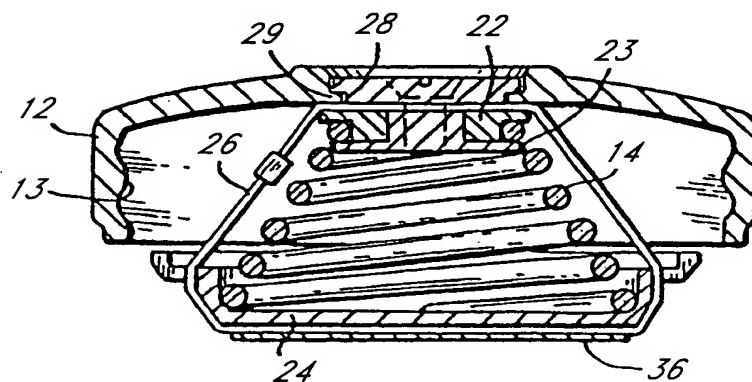


FIG. 3

2/45

FIG. 4

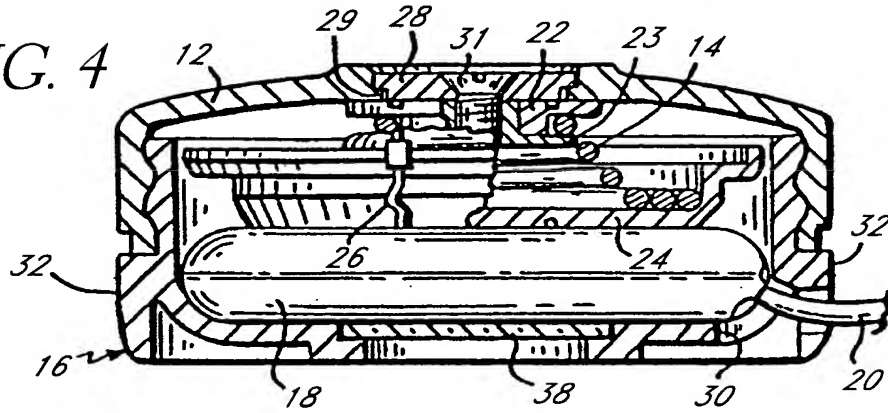


FIG. 5A

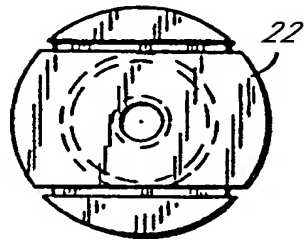
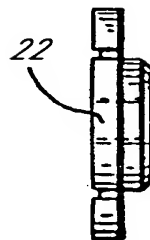
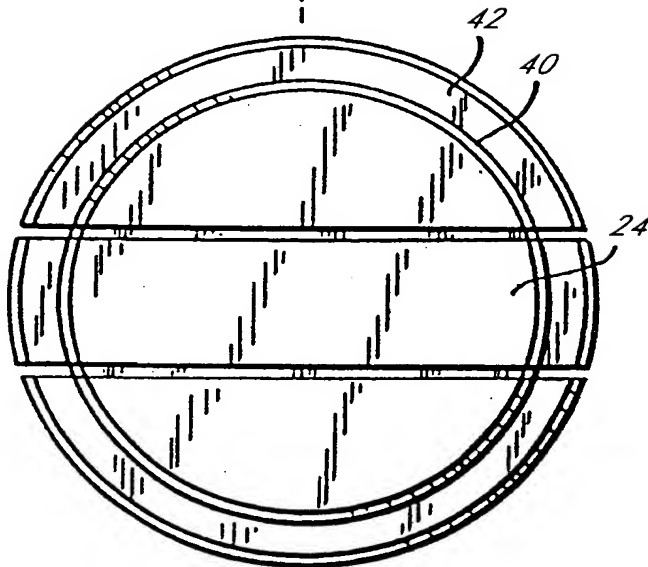


FIG. 5B



6B



6B

FIG. 6A

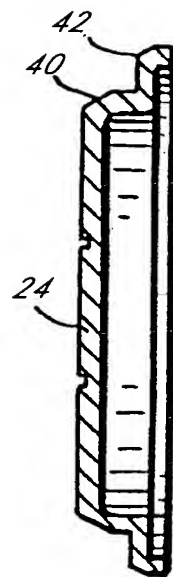


FIG. 6B

Appl. No.: Unknown Atty Docket: IFLOW.2CP3CDVC1

FIG. 8

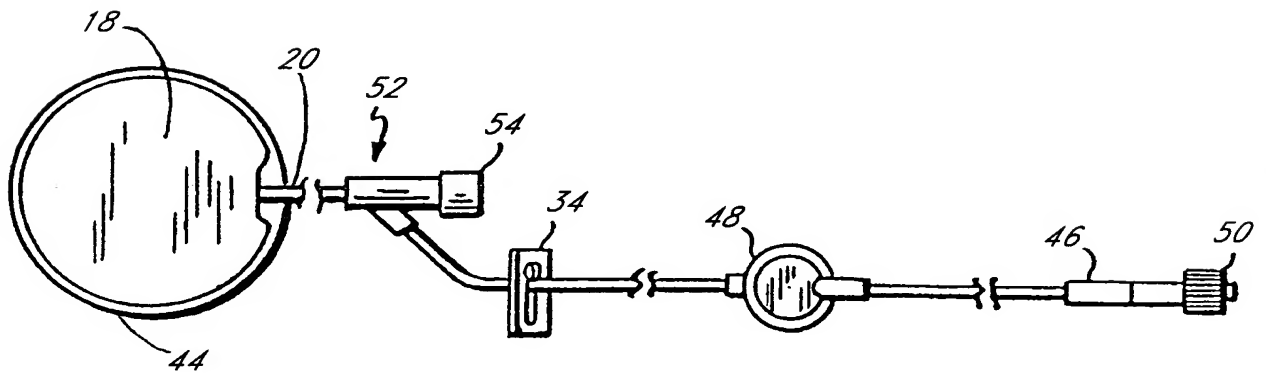
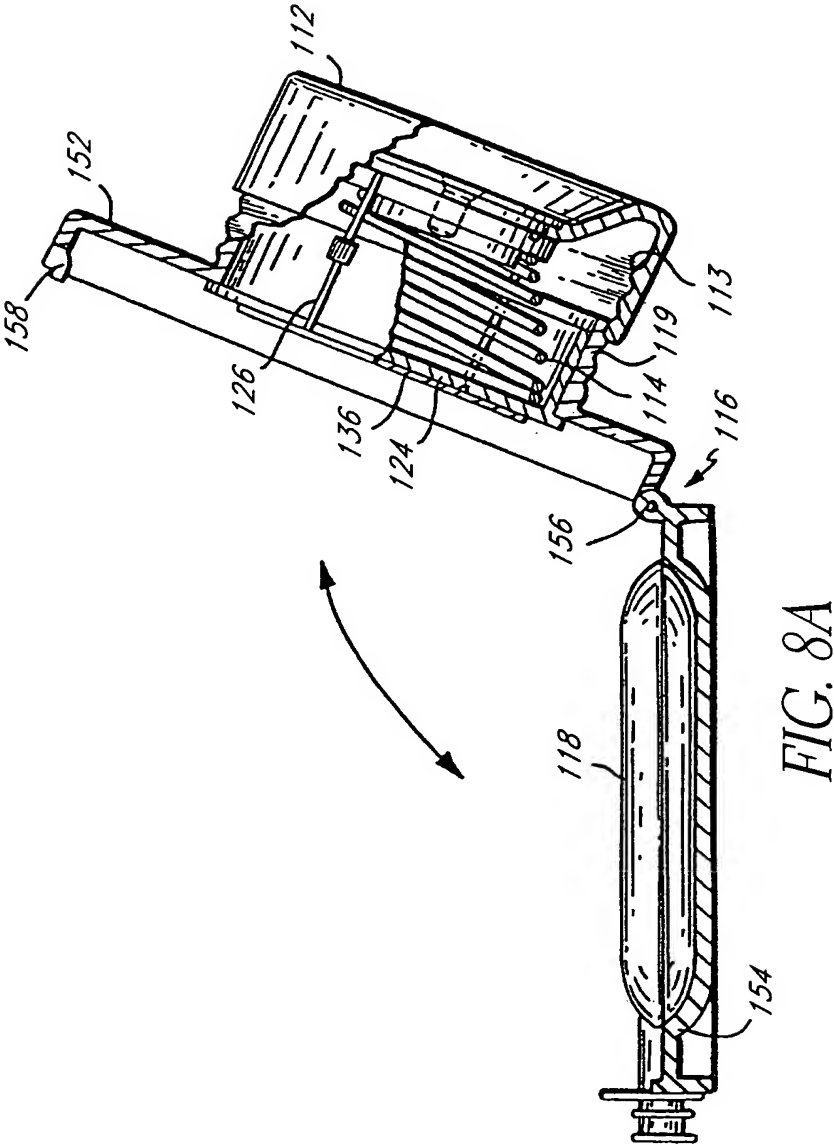


FIG. 8B



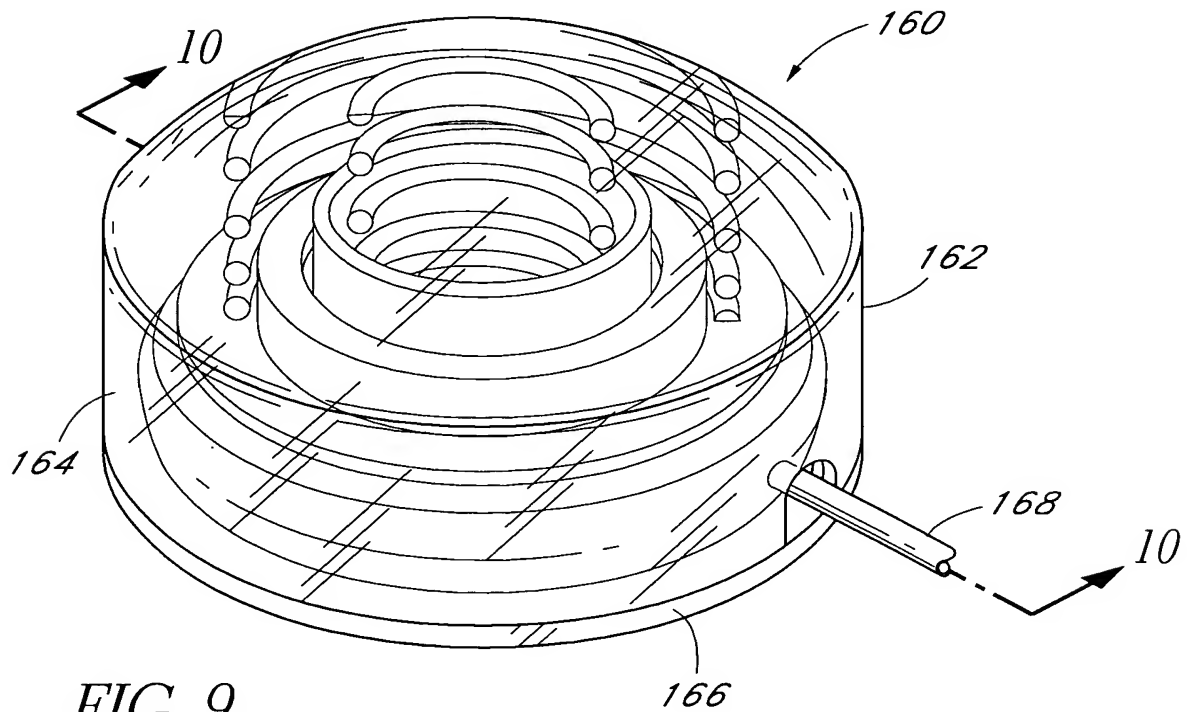


FIG. 9

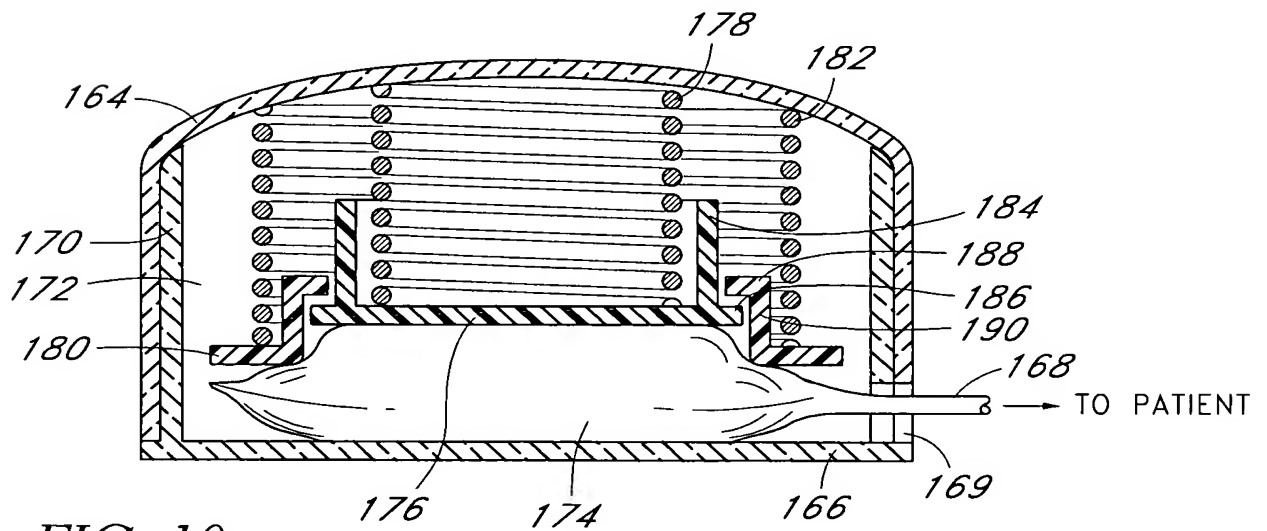


FIG. 10

FIG. 11

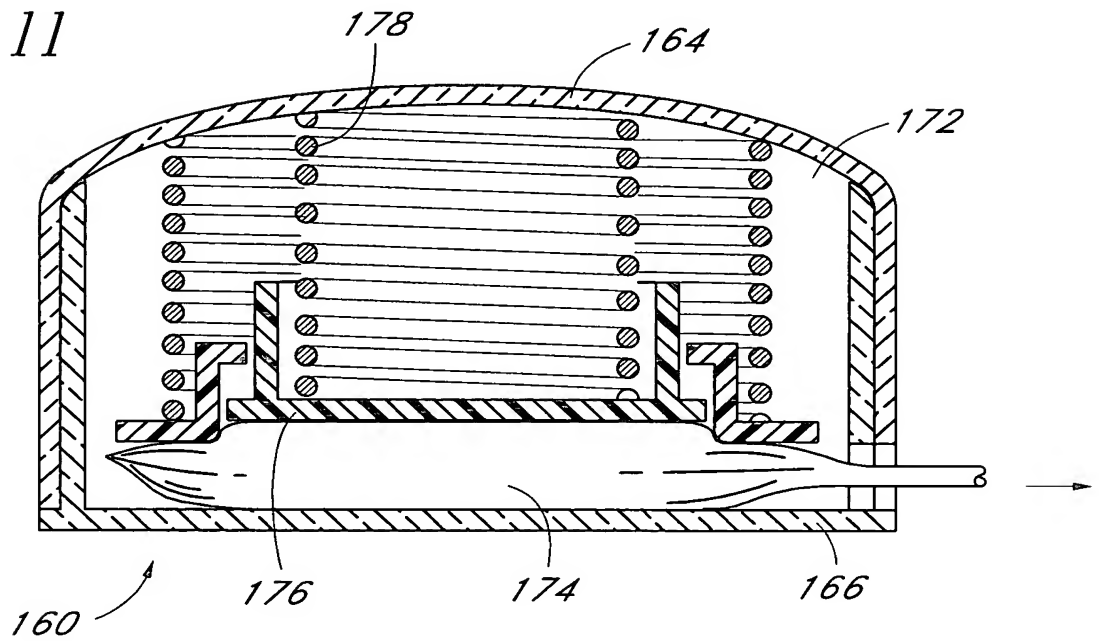
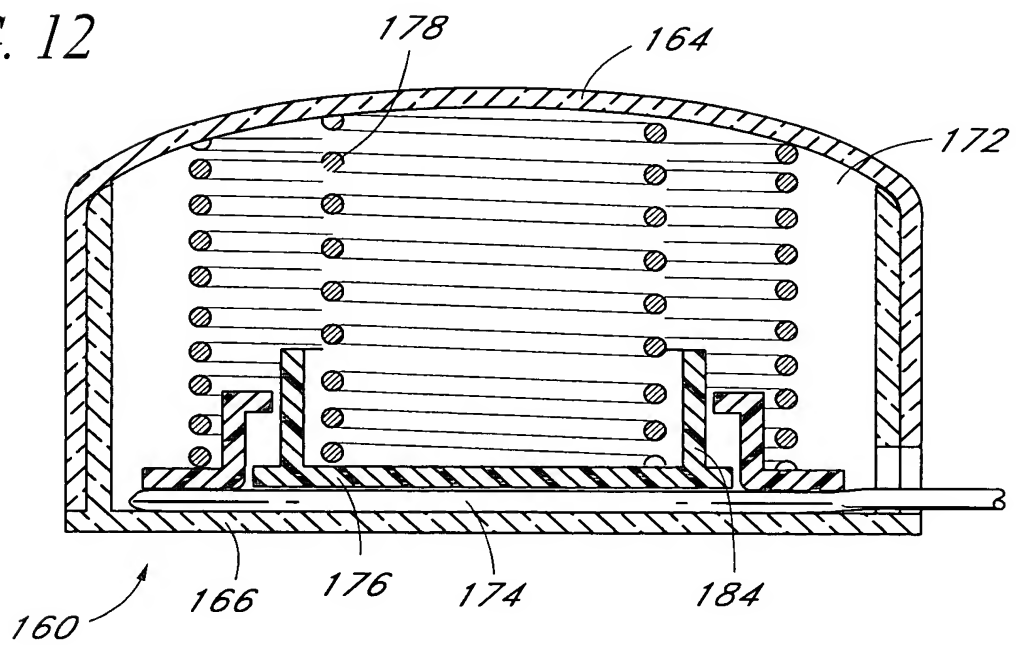
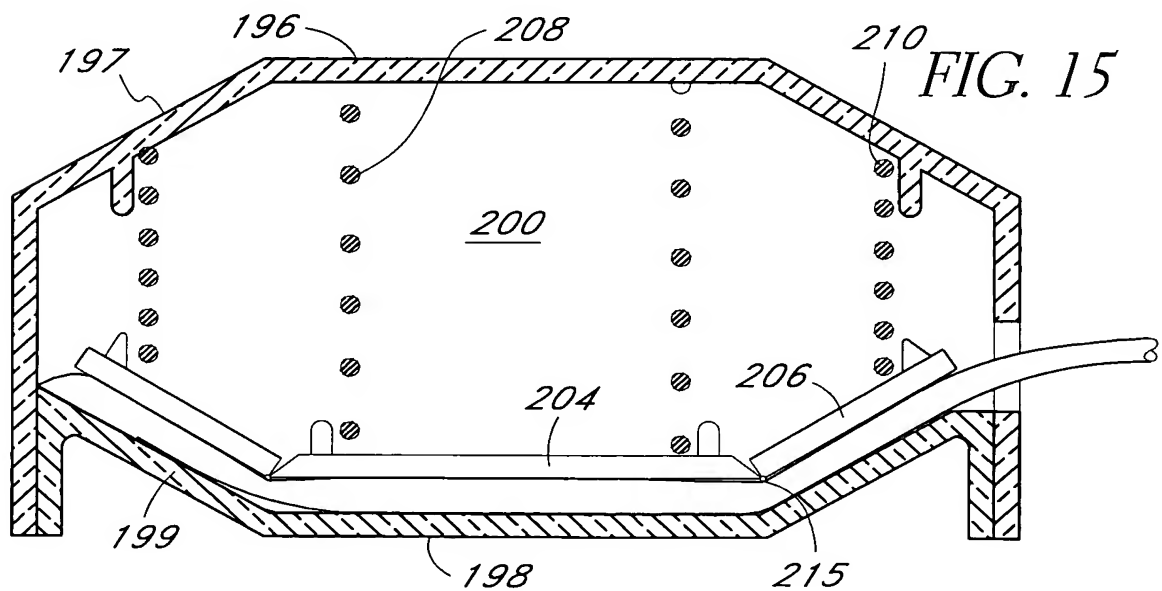
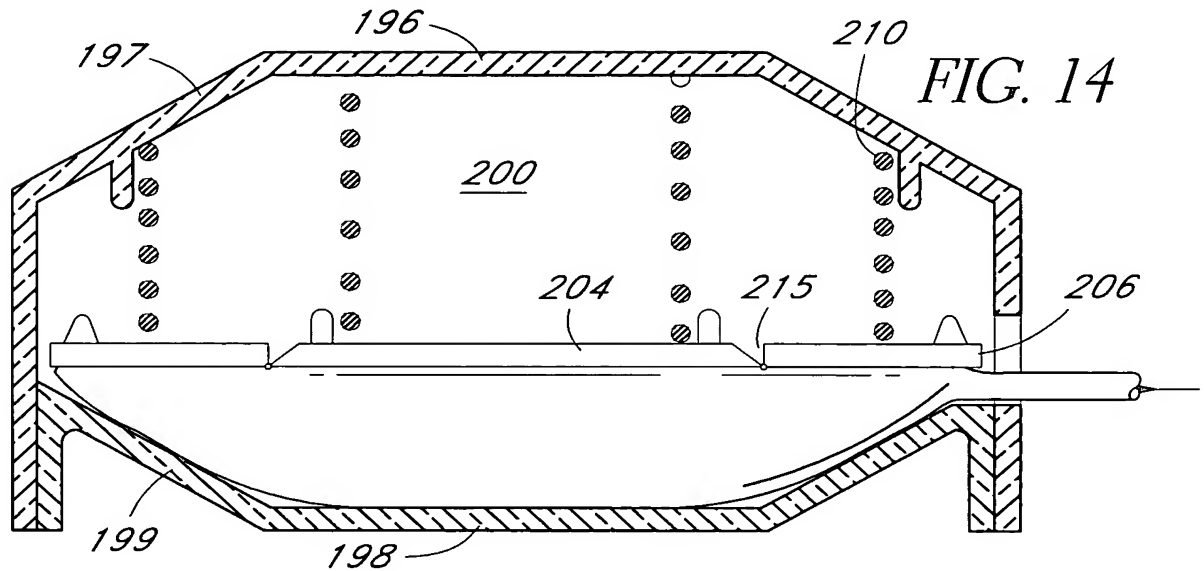
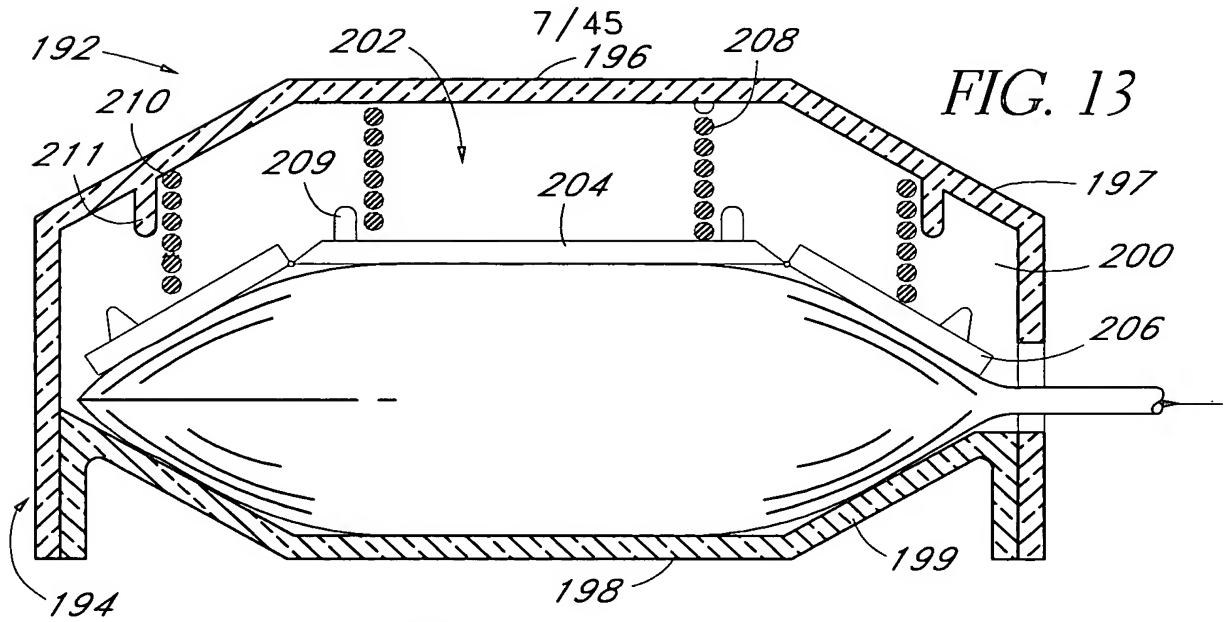


FIG. 12



Appl. No.: Unknown Atty Docket: IFLOW.2CP3CDVCI



8/45

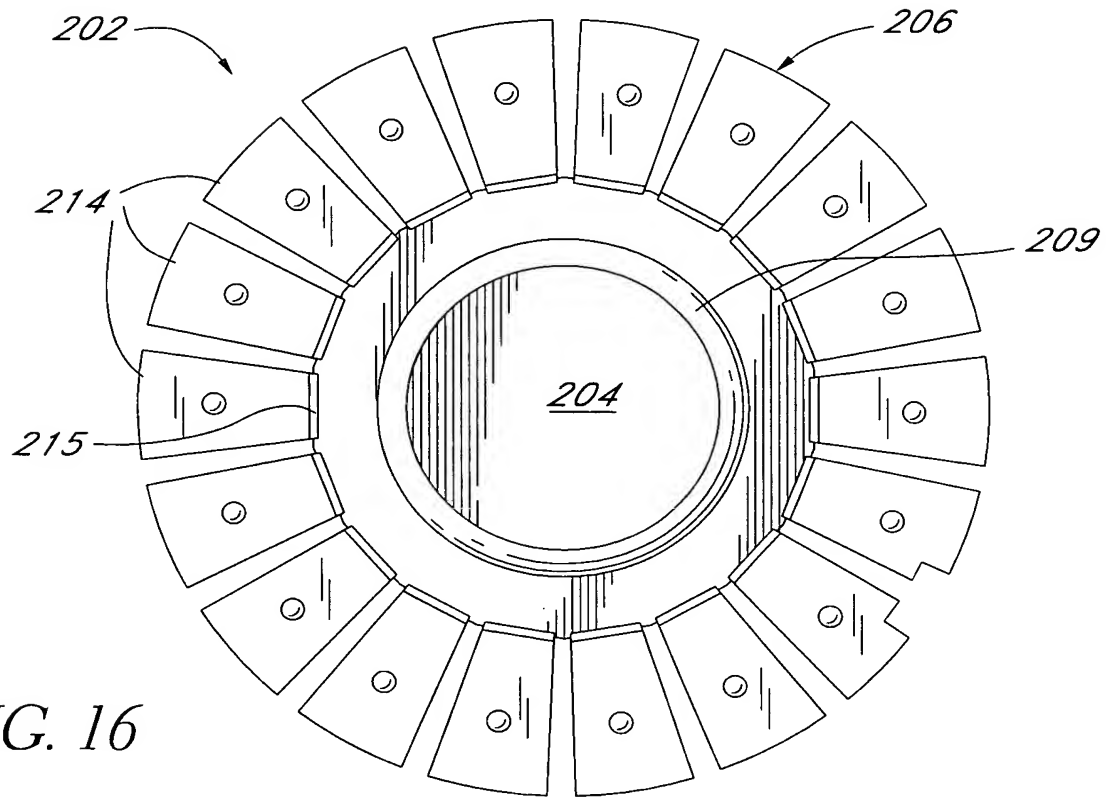


FIG. 16

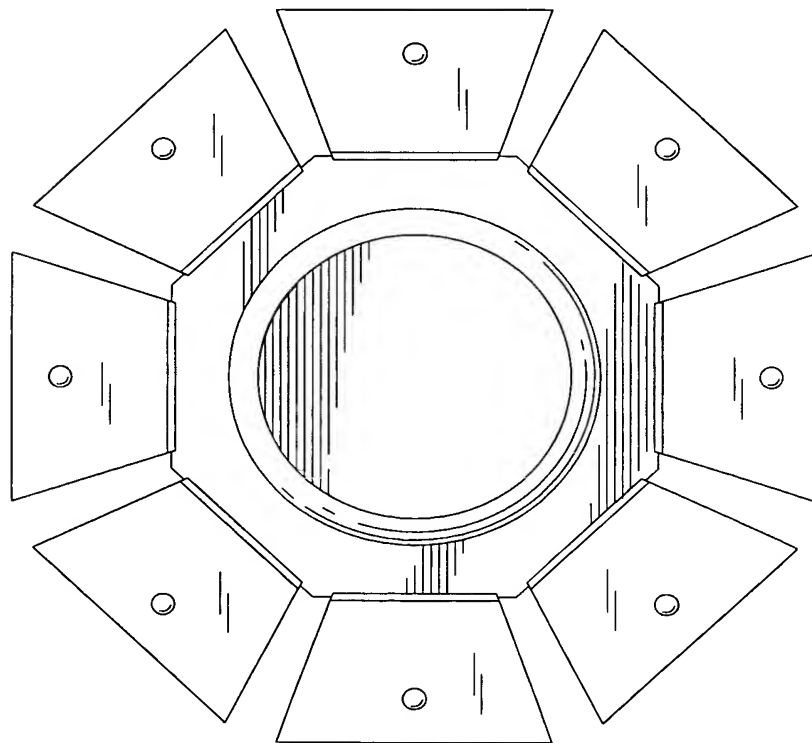
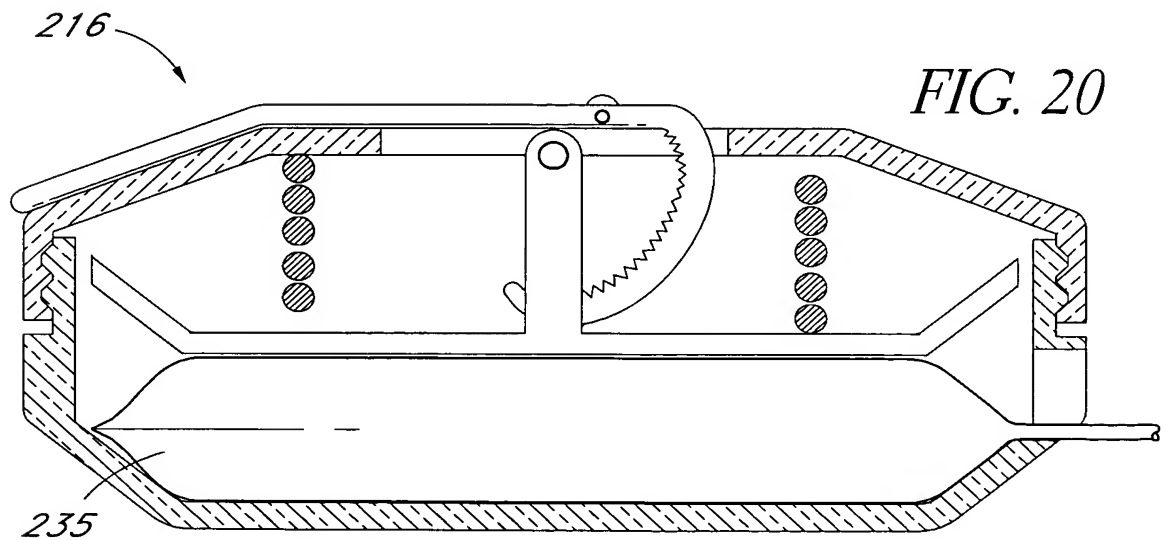
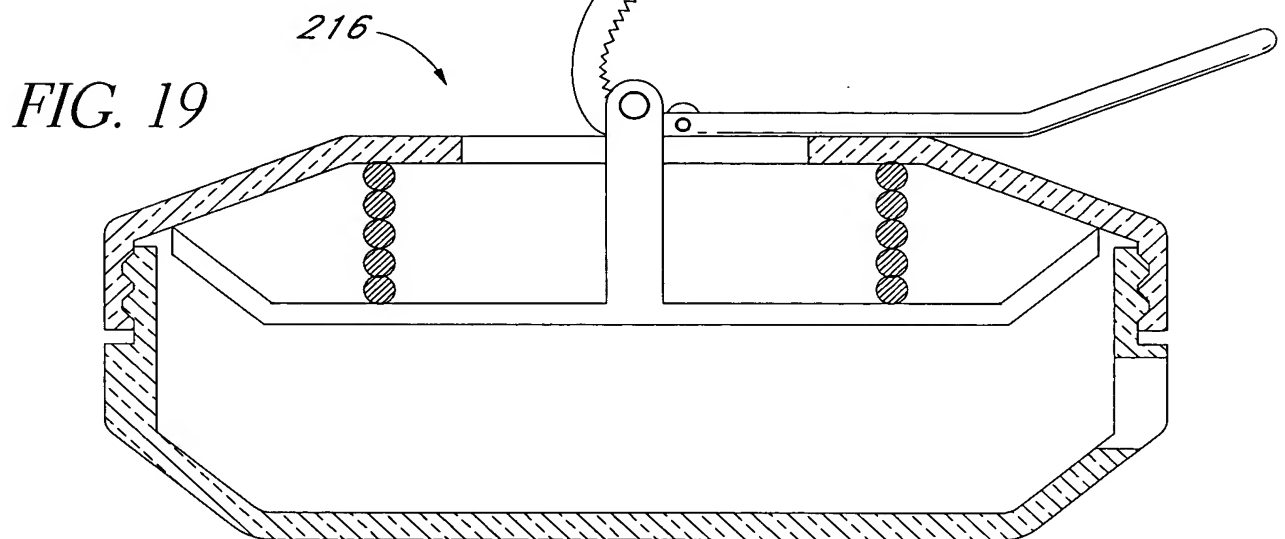
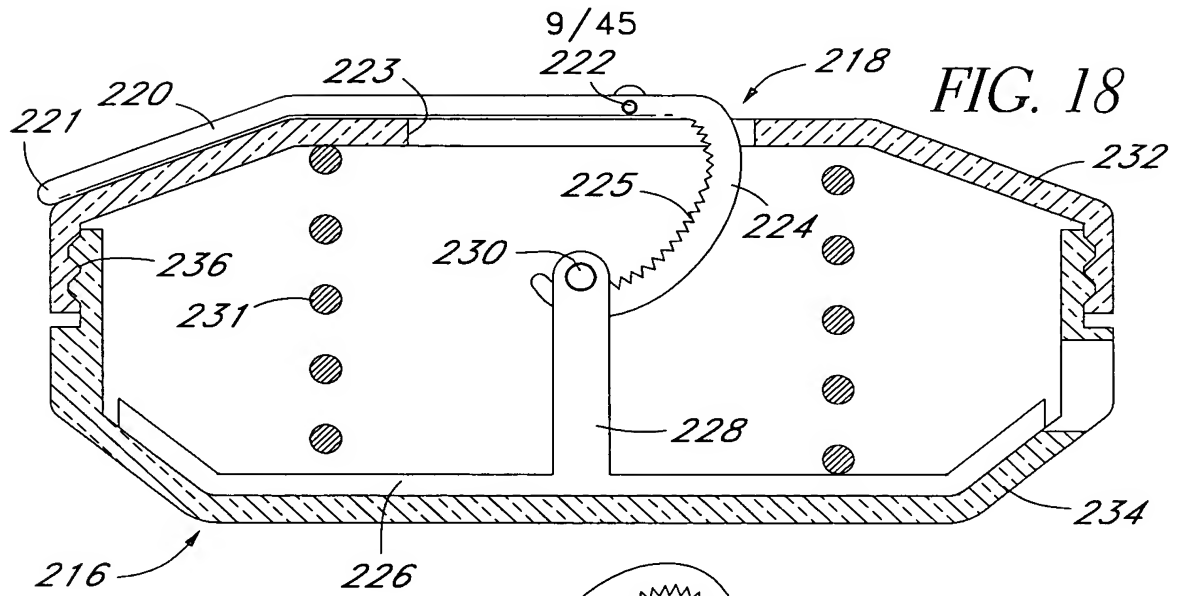


FIG. 17



10/45

FIG. 21

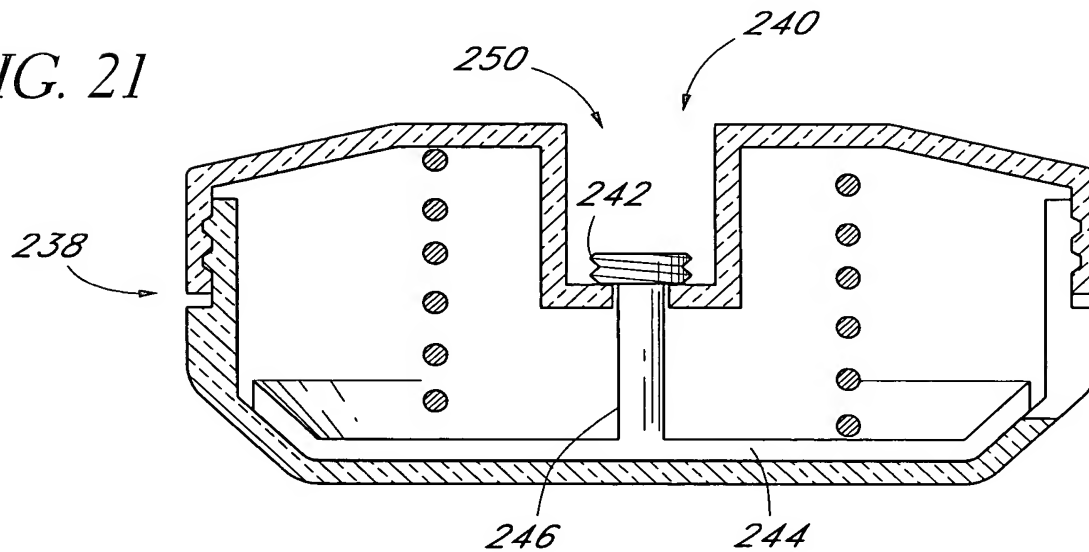


FIG. 22

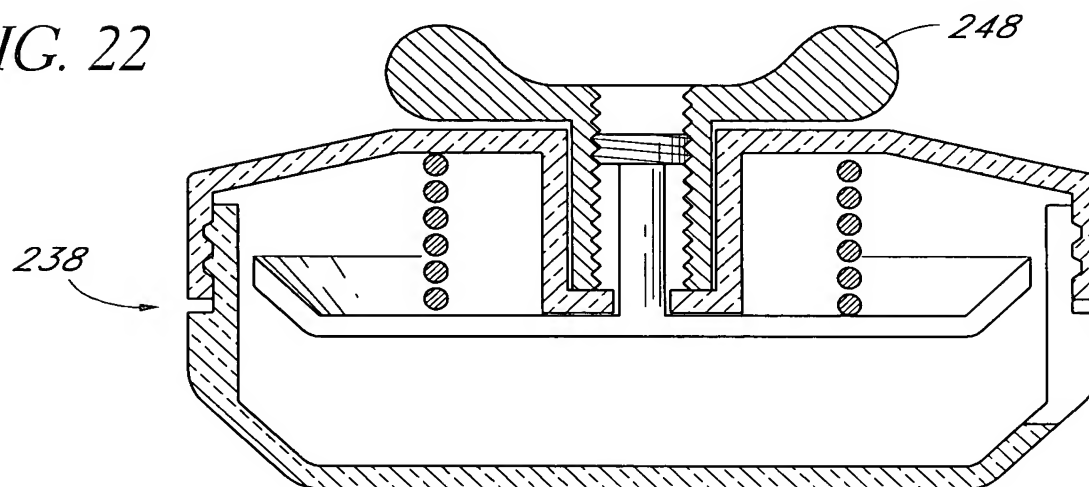
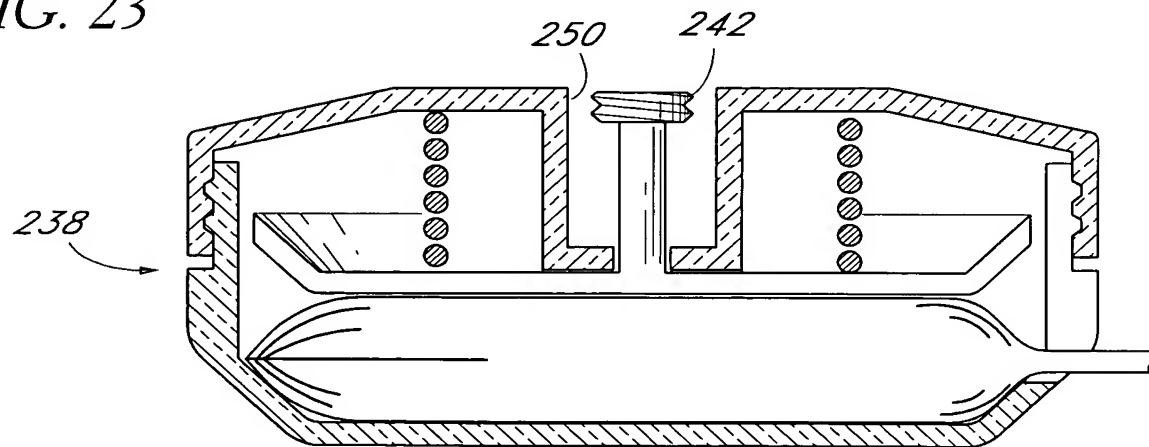


FIG. 23



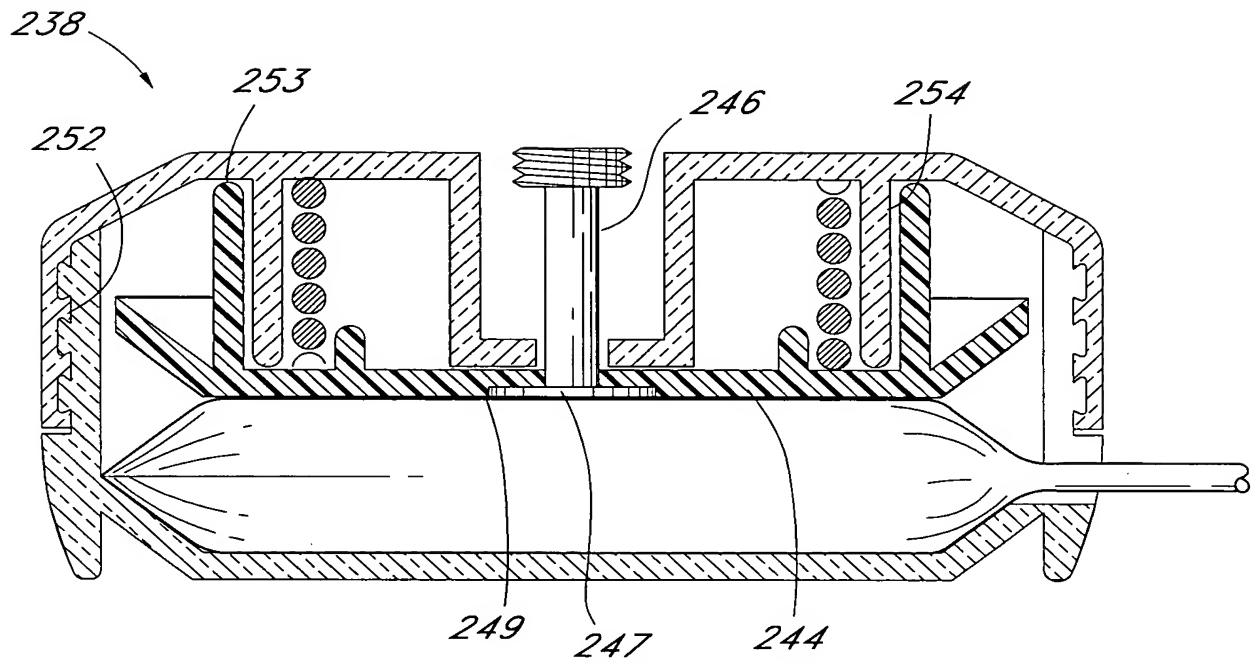


FIG. 24

FIG. 25

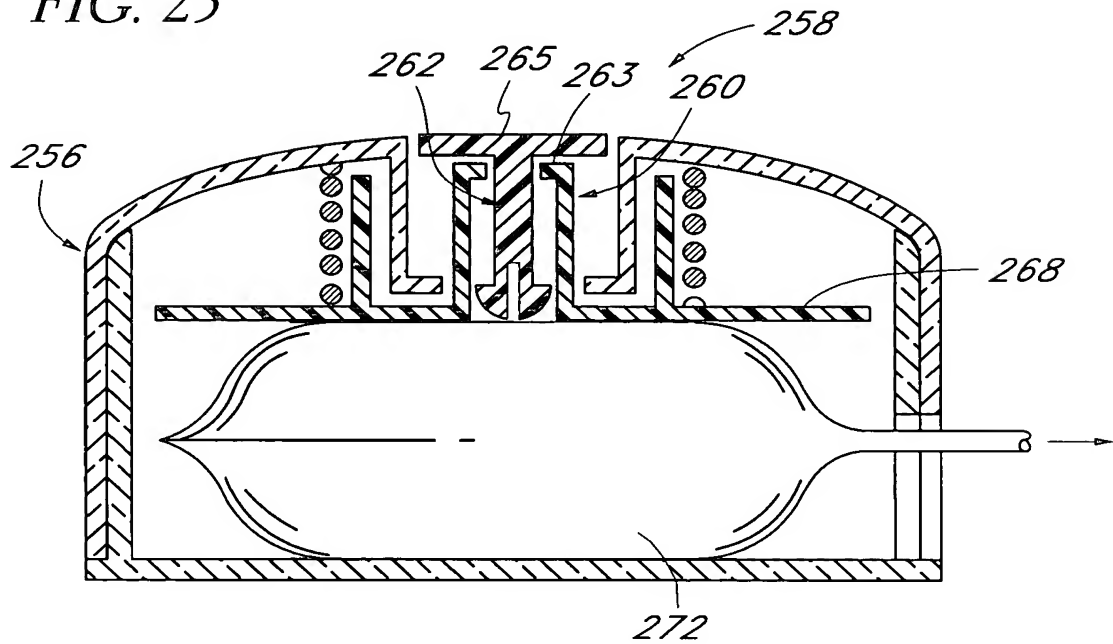
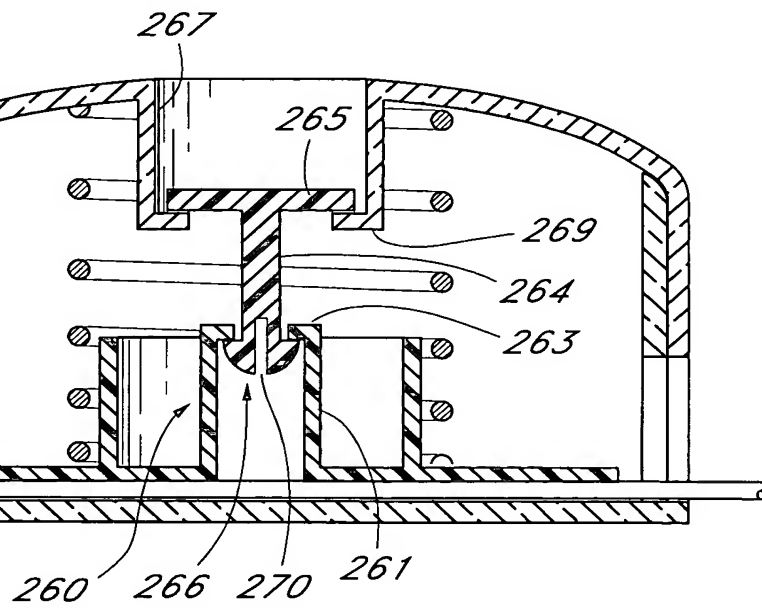
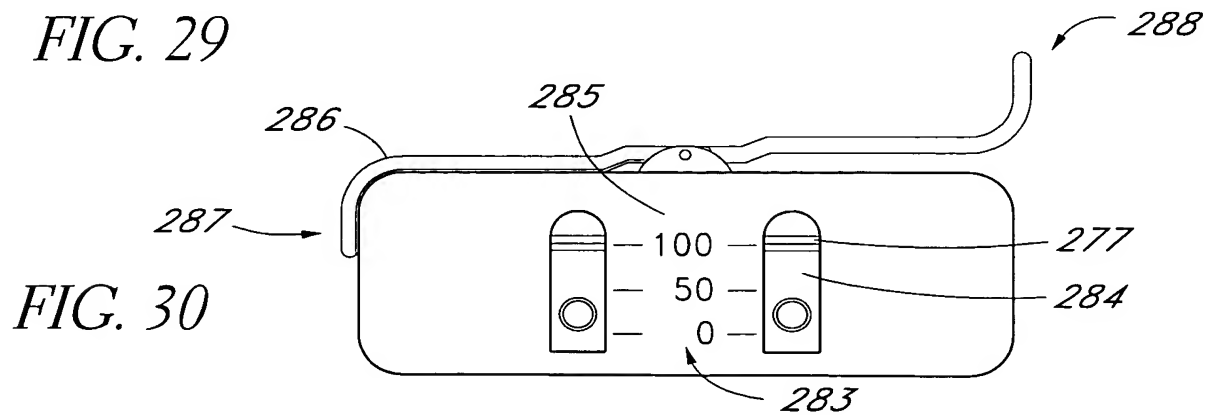
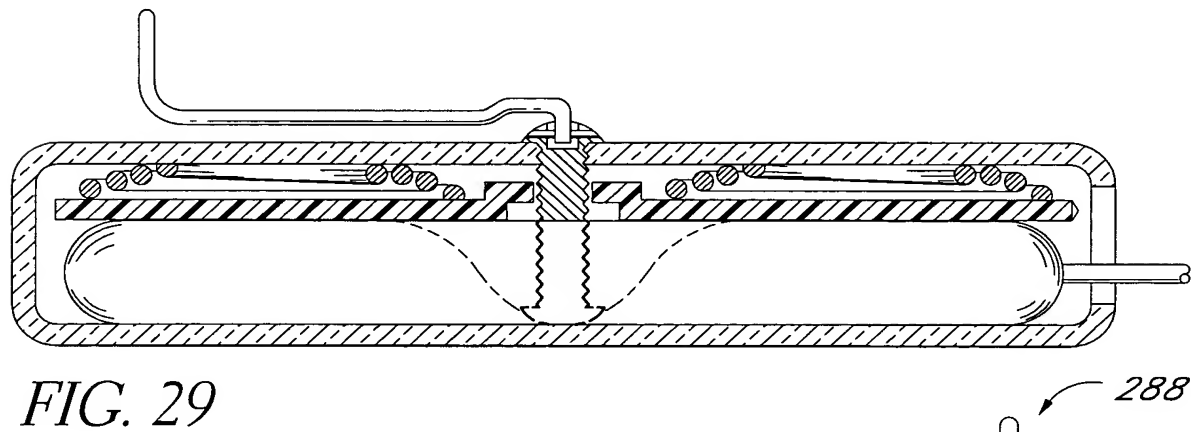
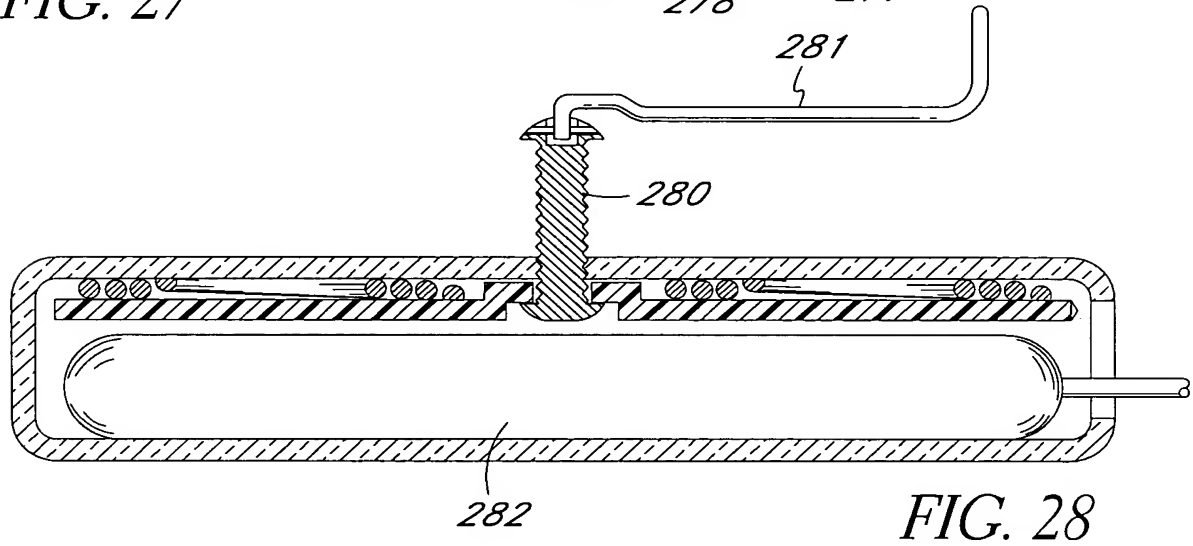
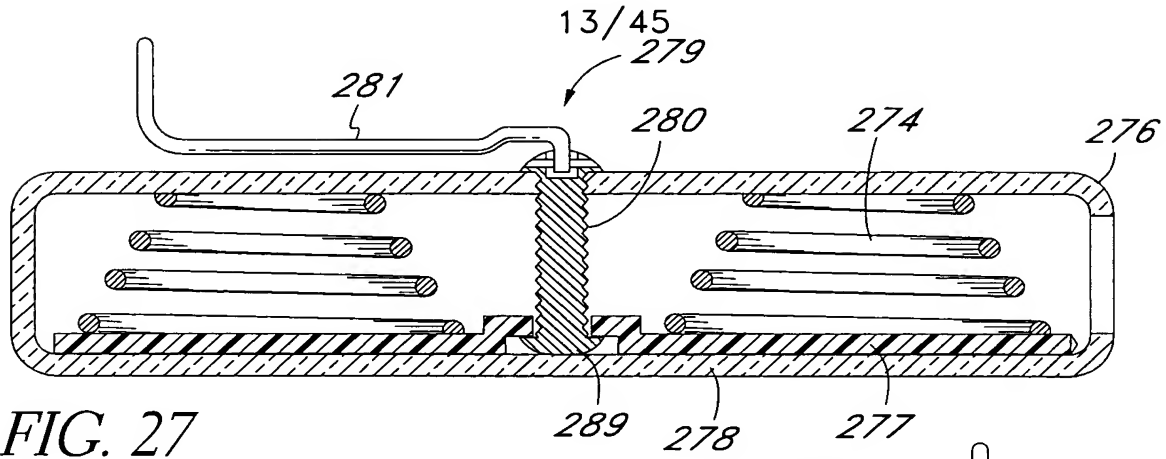
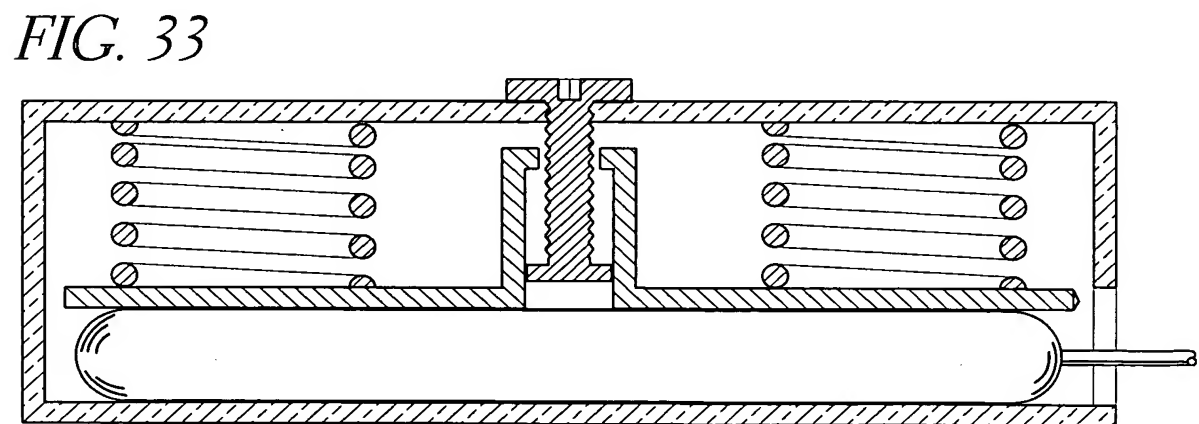
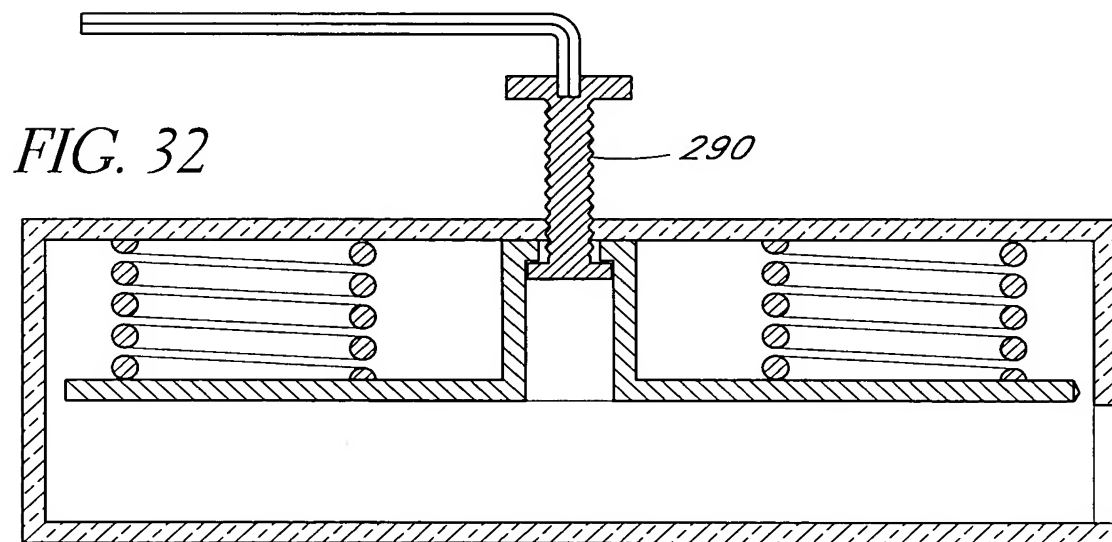
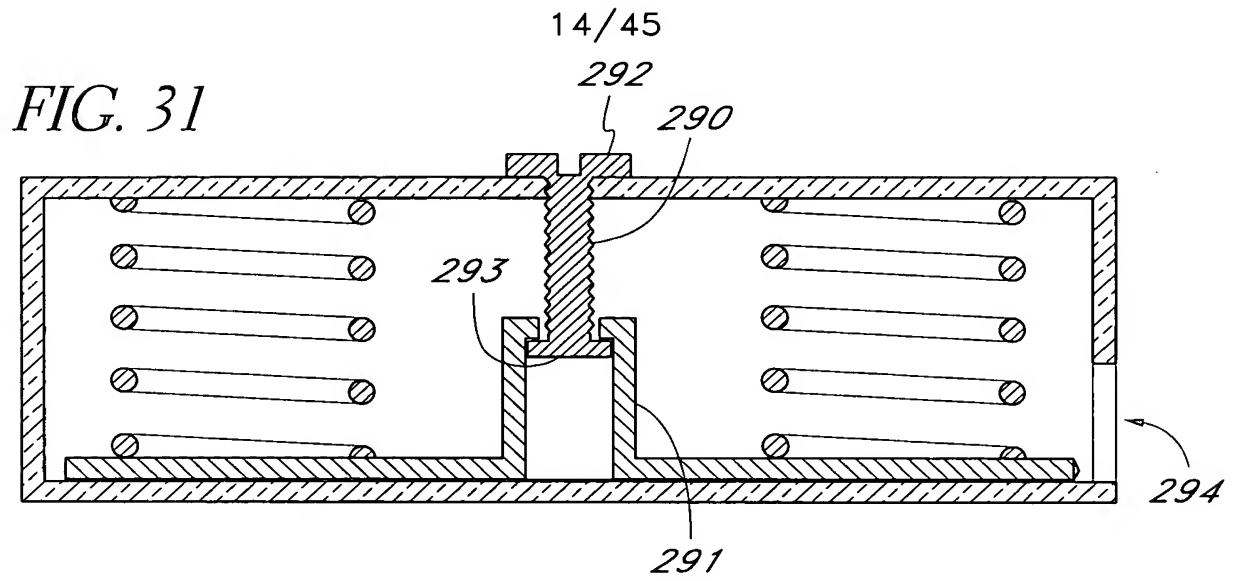


FIG. 26



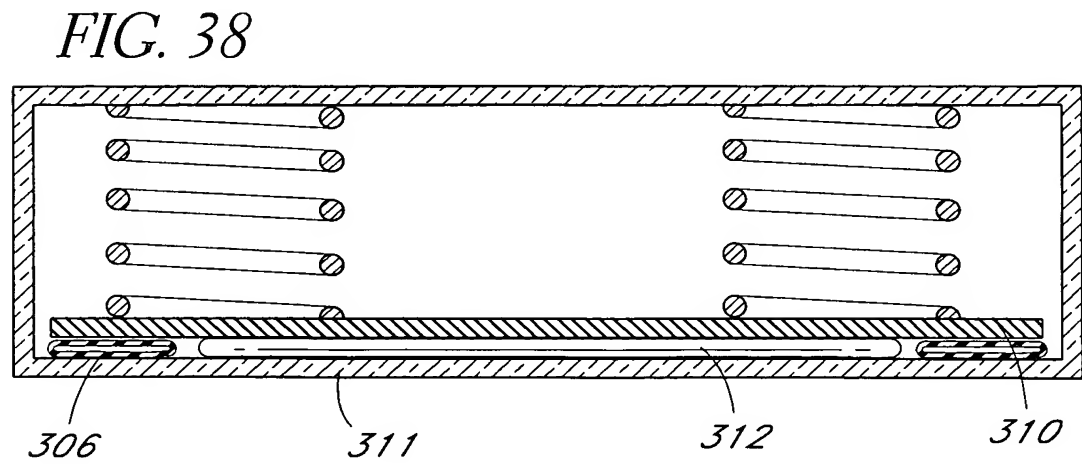
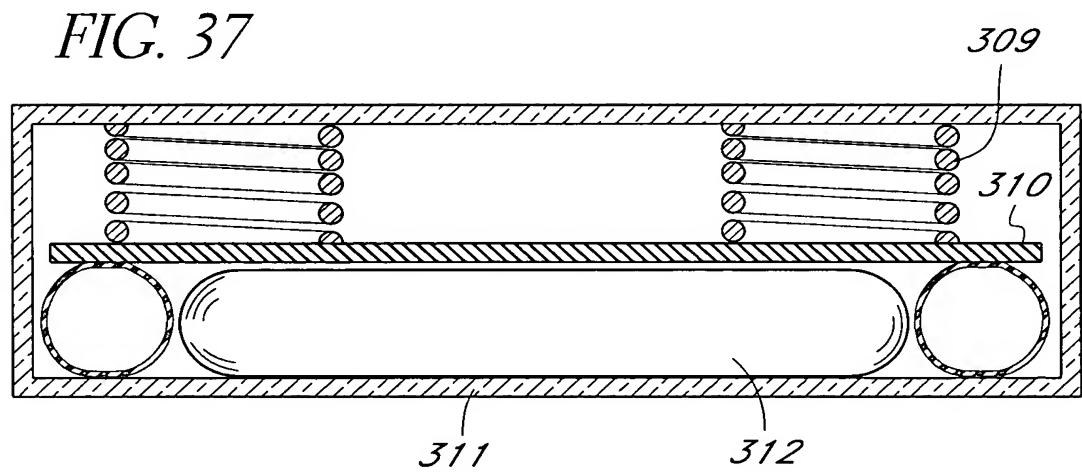
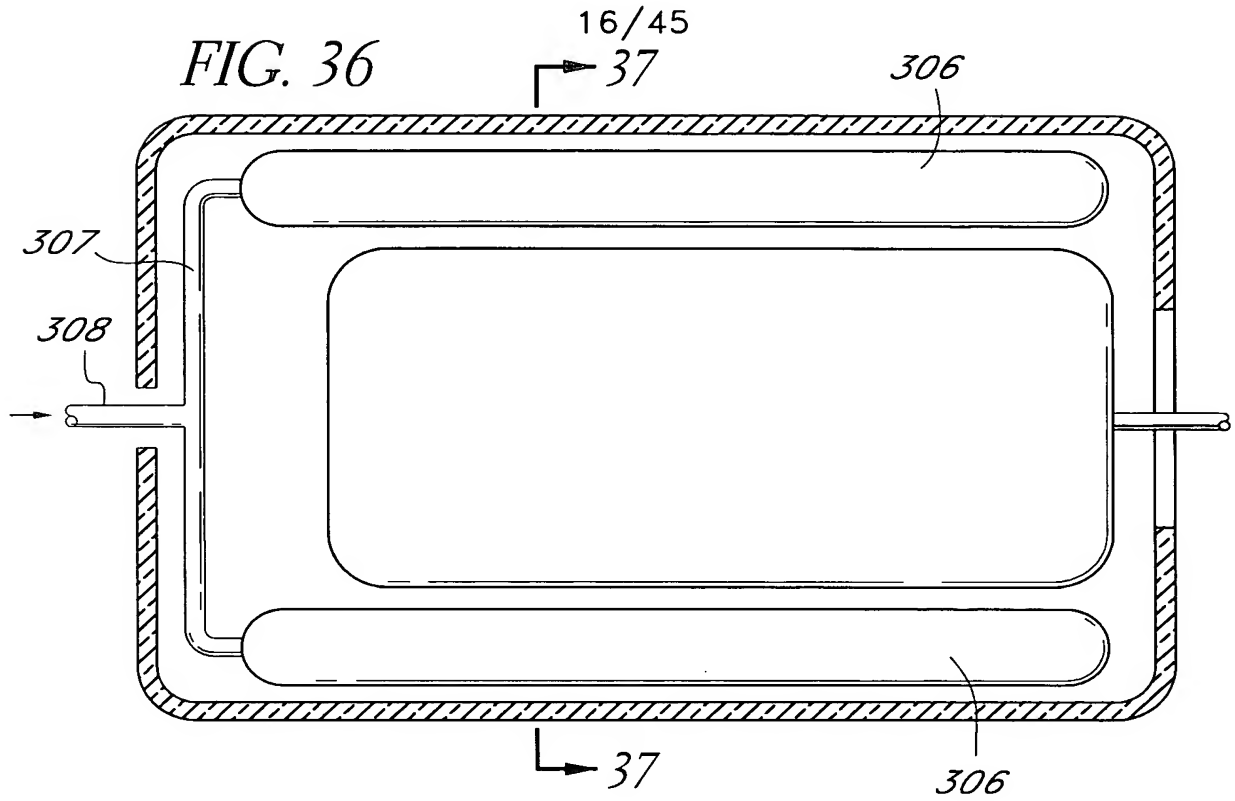




Appl. No.: Unknown Atty Docket: IFLOW.2CP3CDVC1

15/45





17/45

FIG. 40

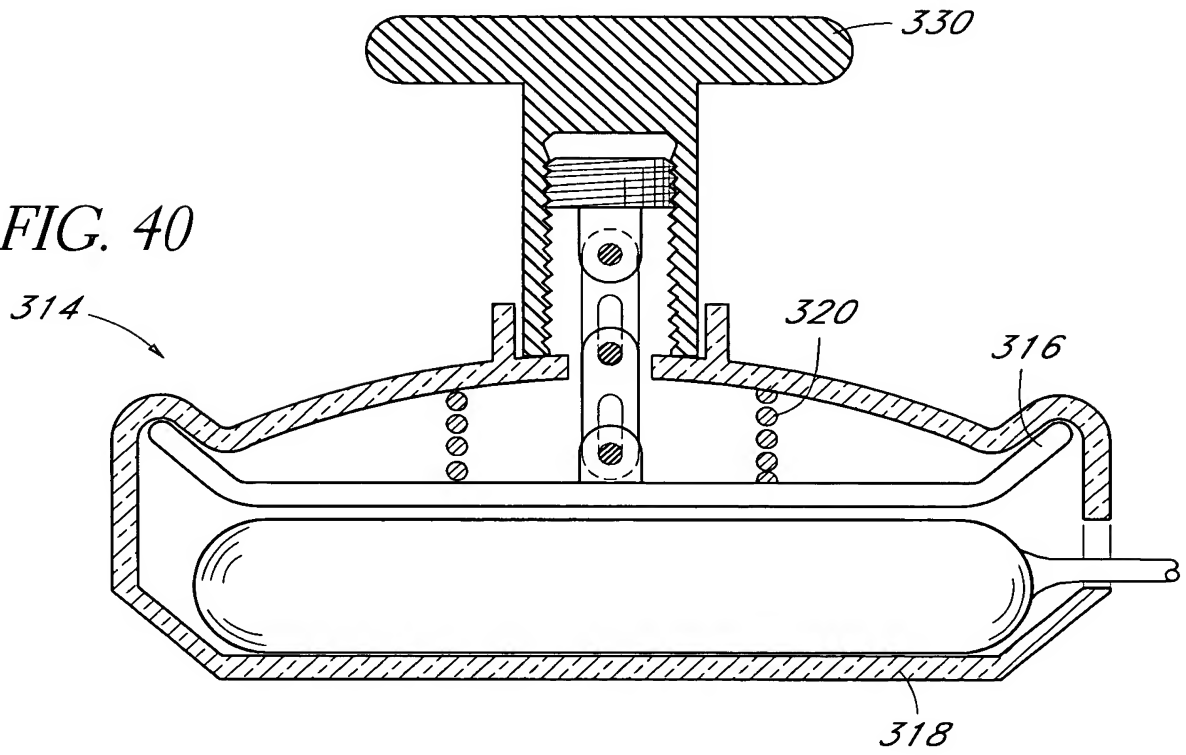


FIG. 41

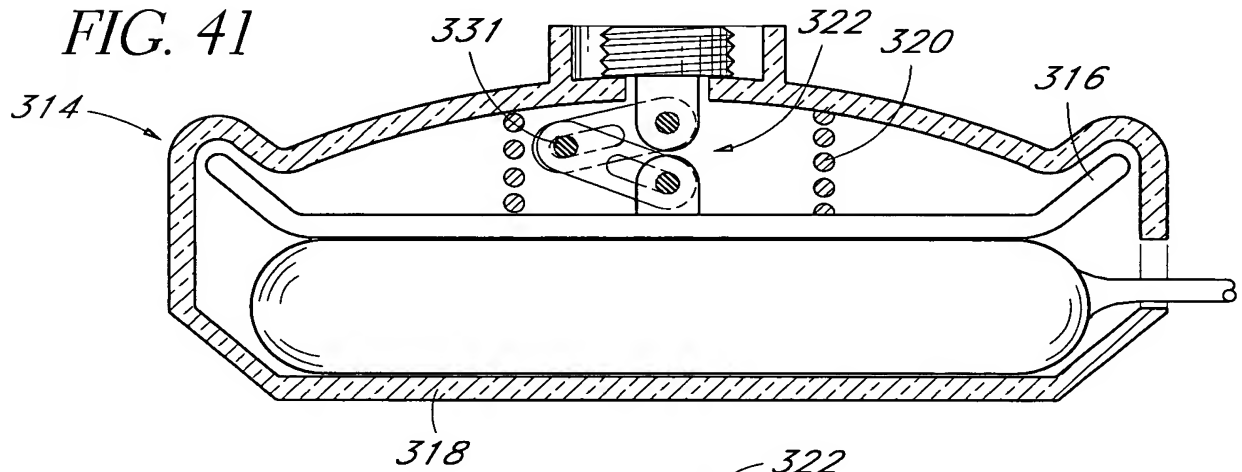


FIG. 39

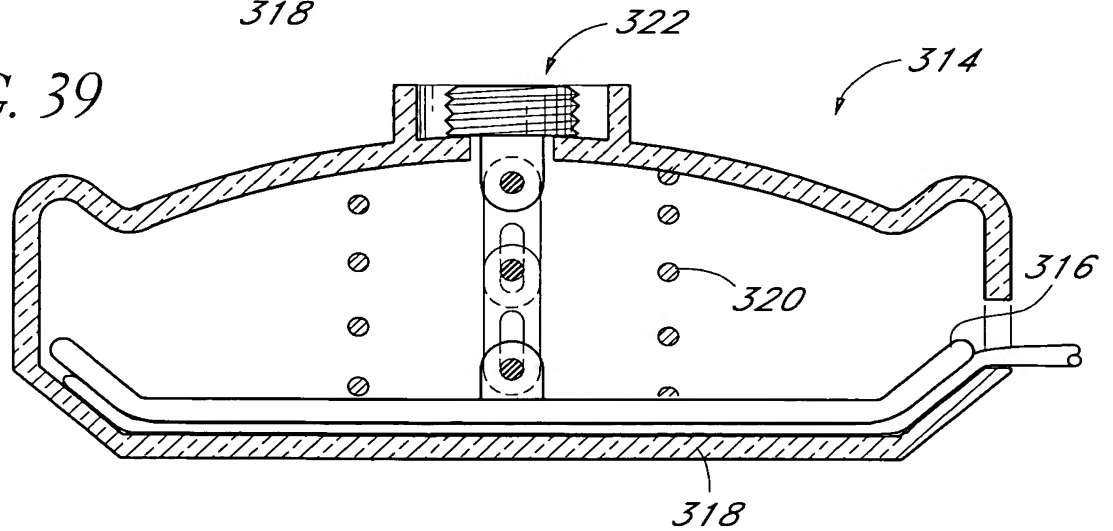


FIG. 42

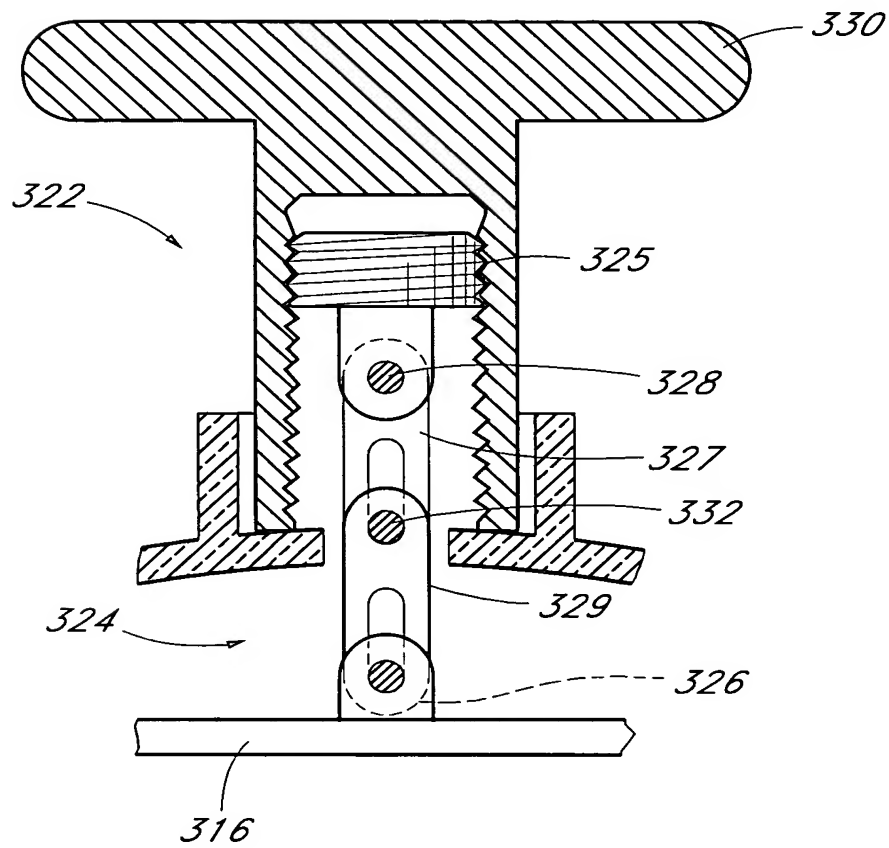


FIG. 43

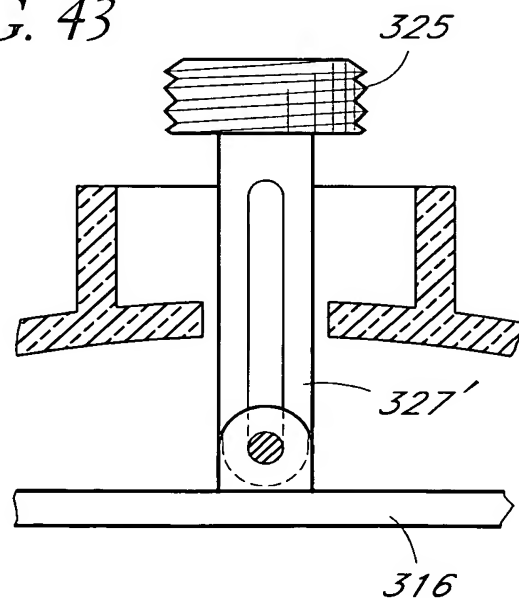


FIG. 44

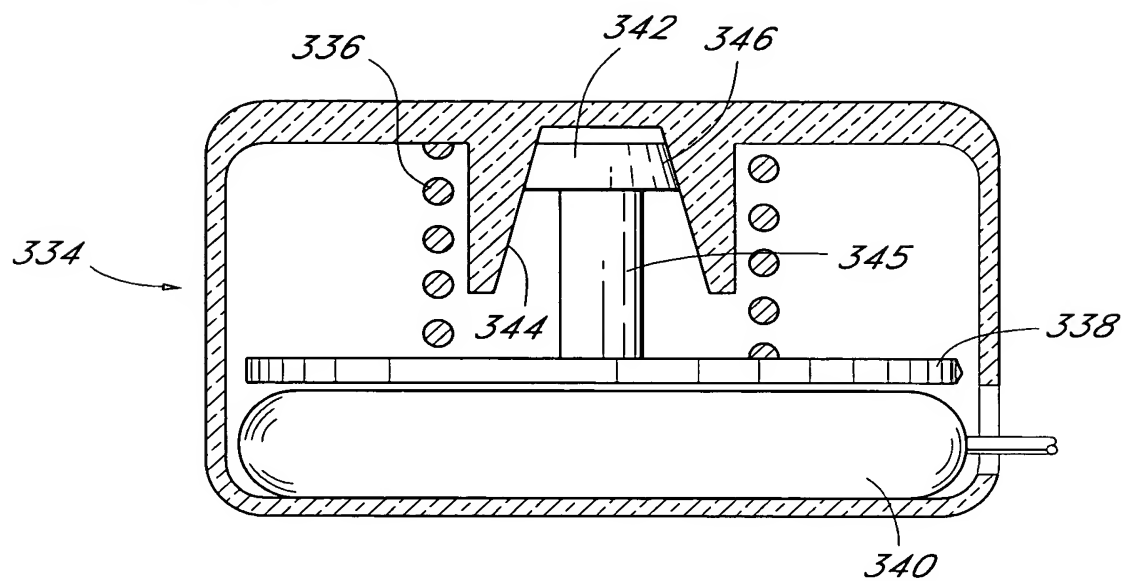


FIG. 45

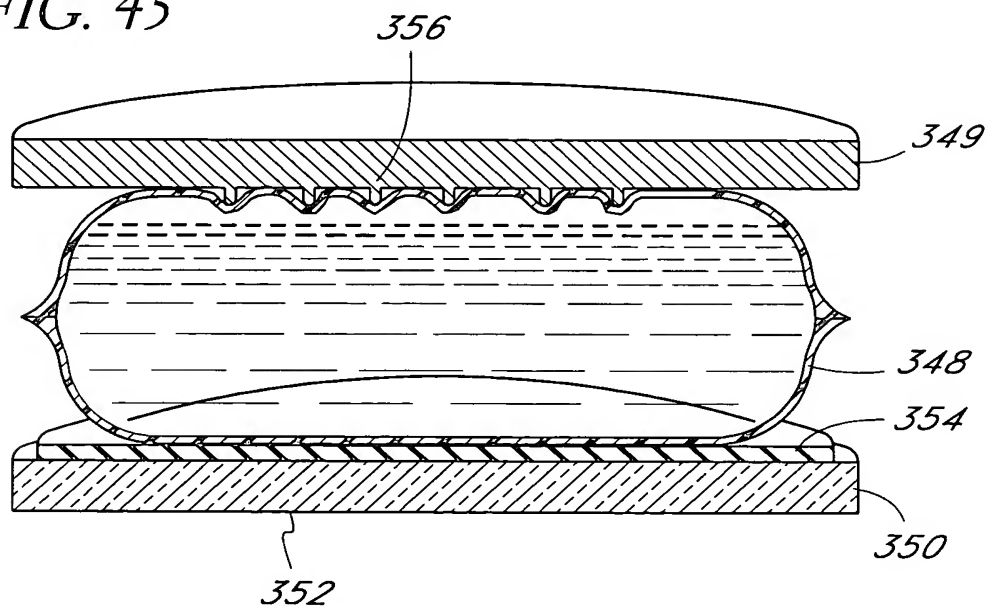


FIG. 46

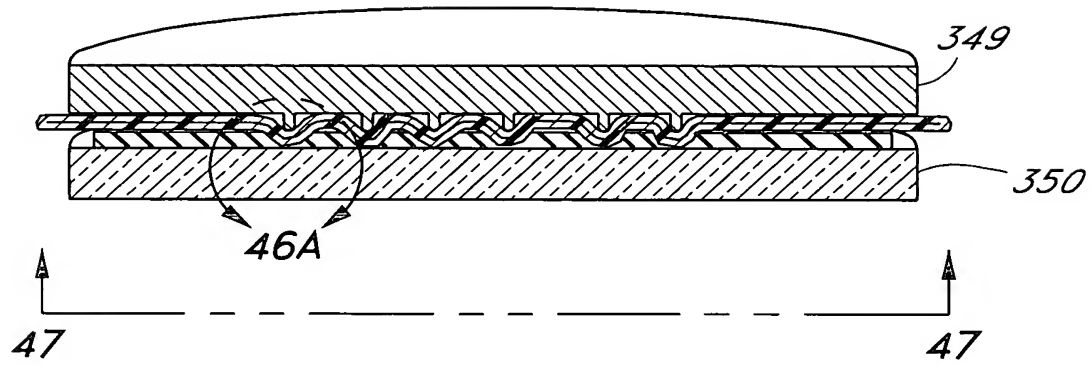


FIG. 46A

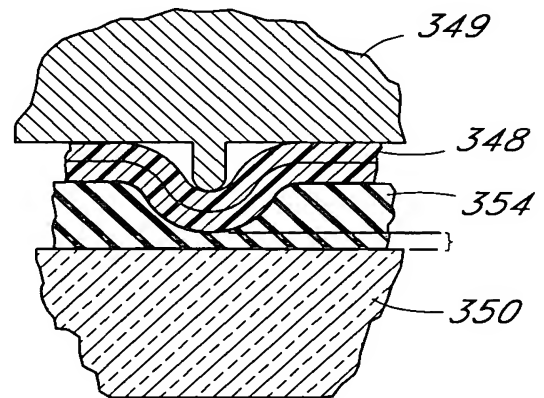
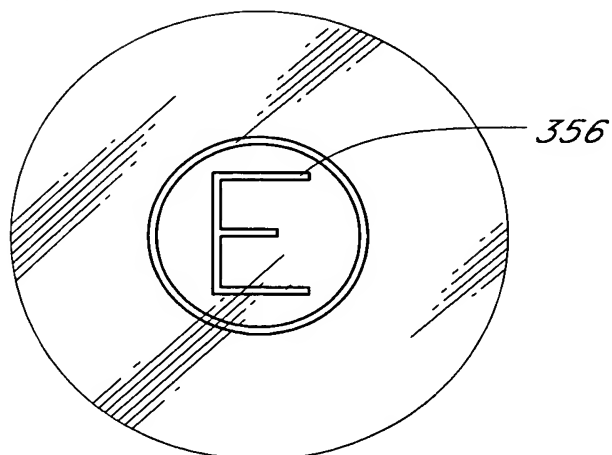
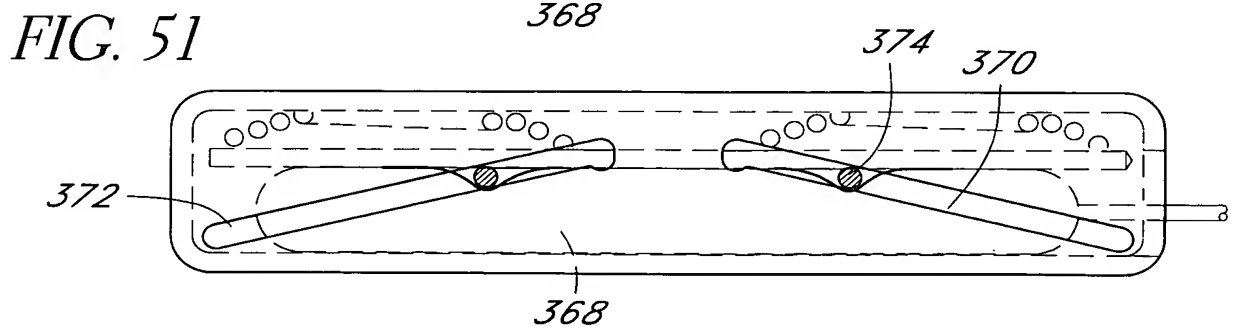
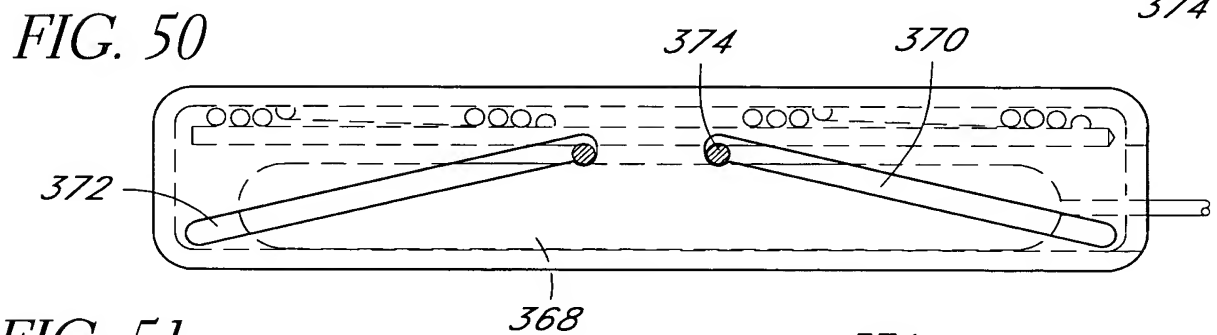
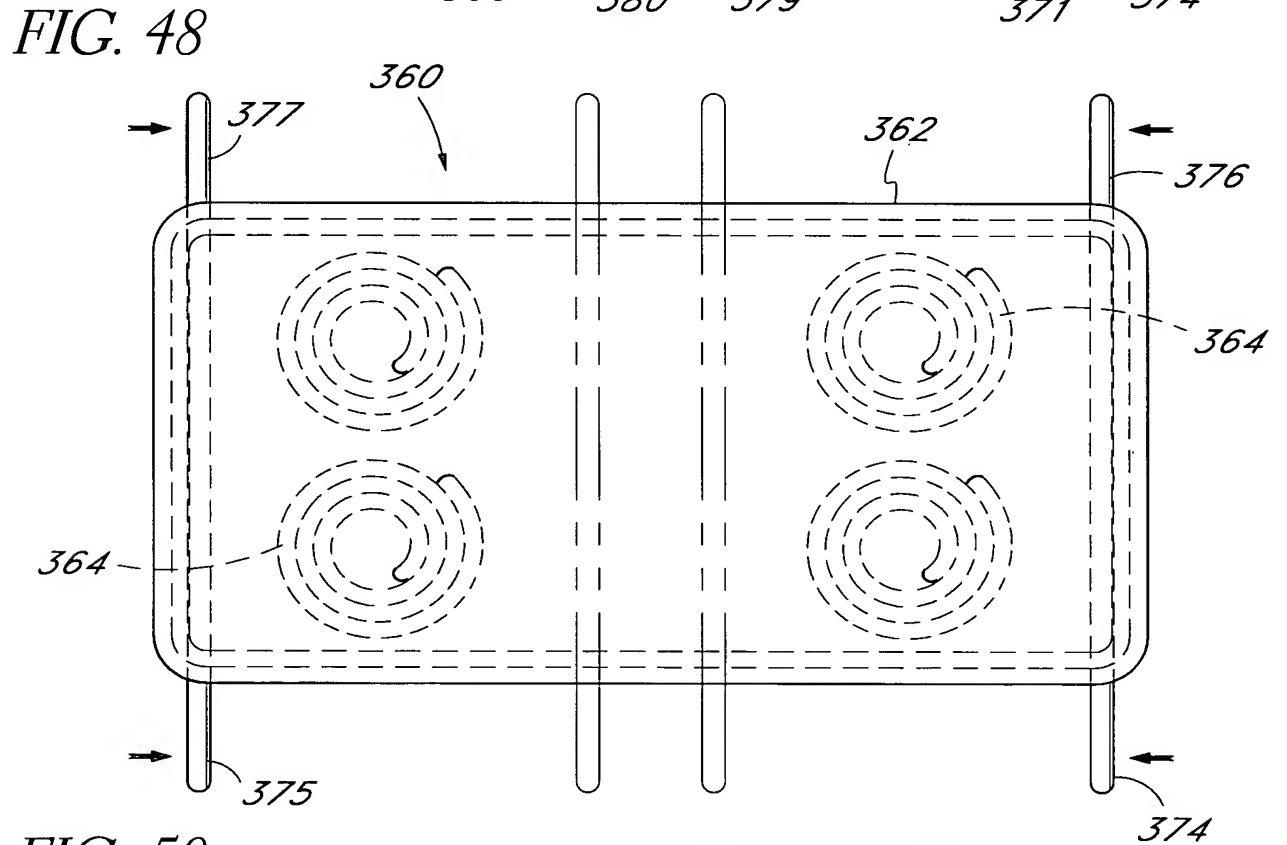
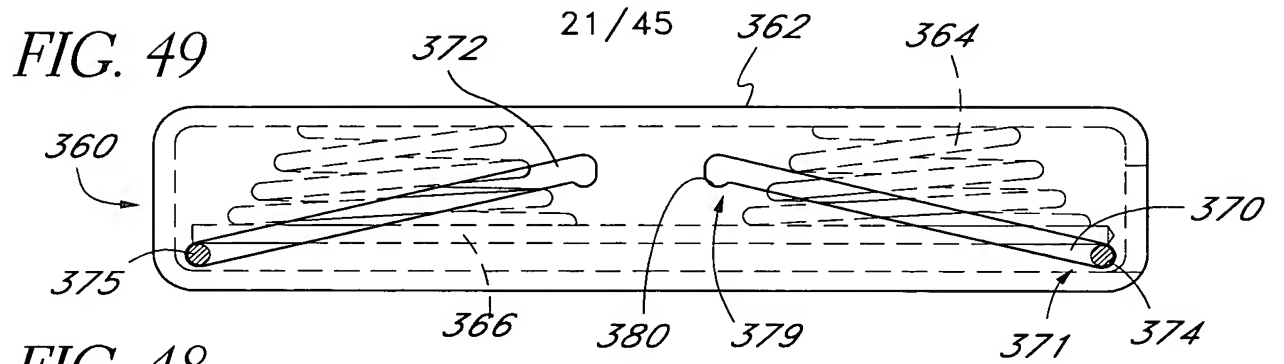


FIG. 47





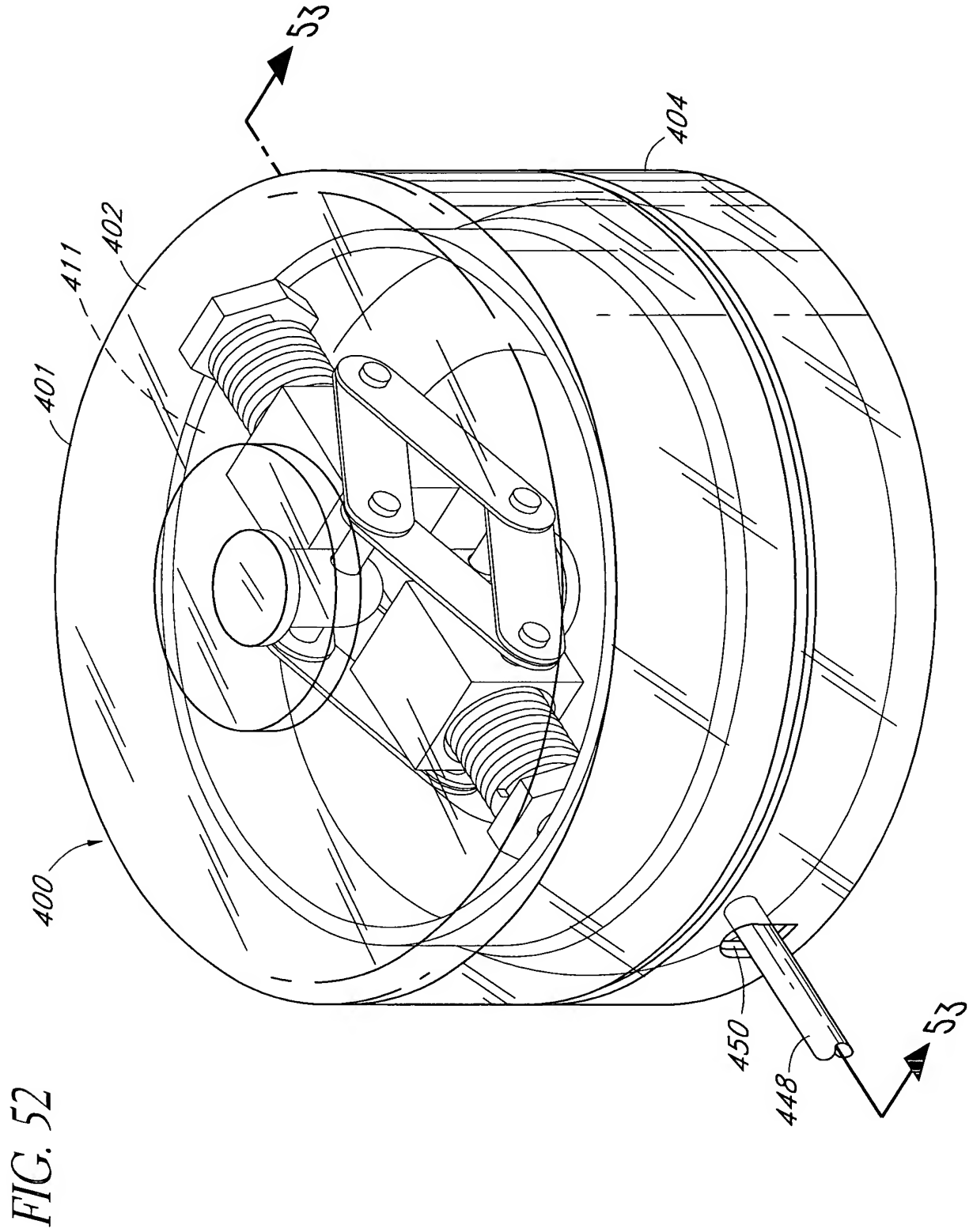
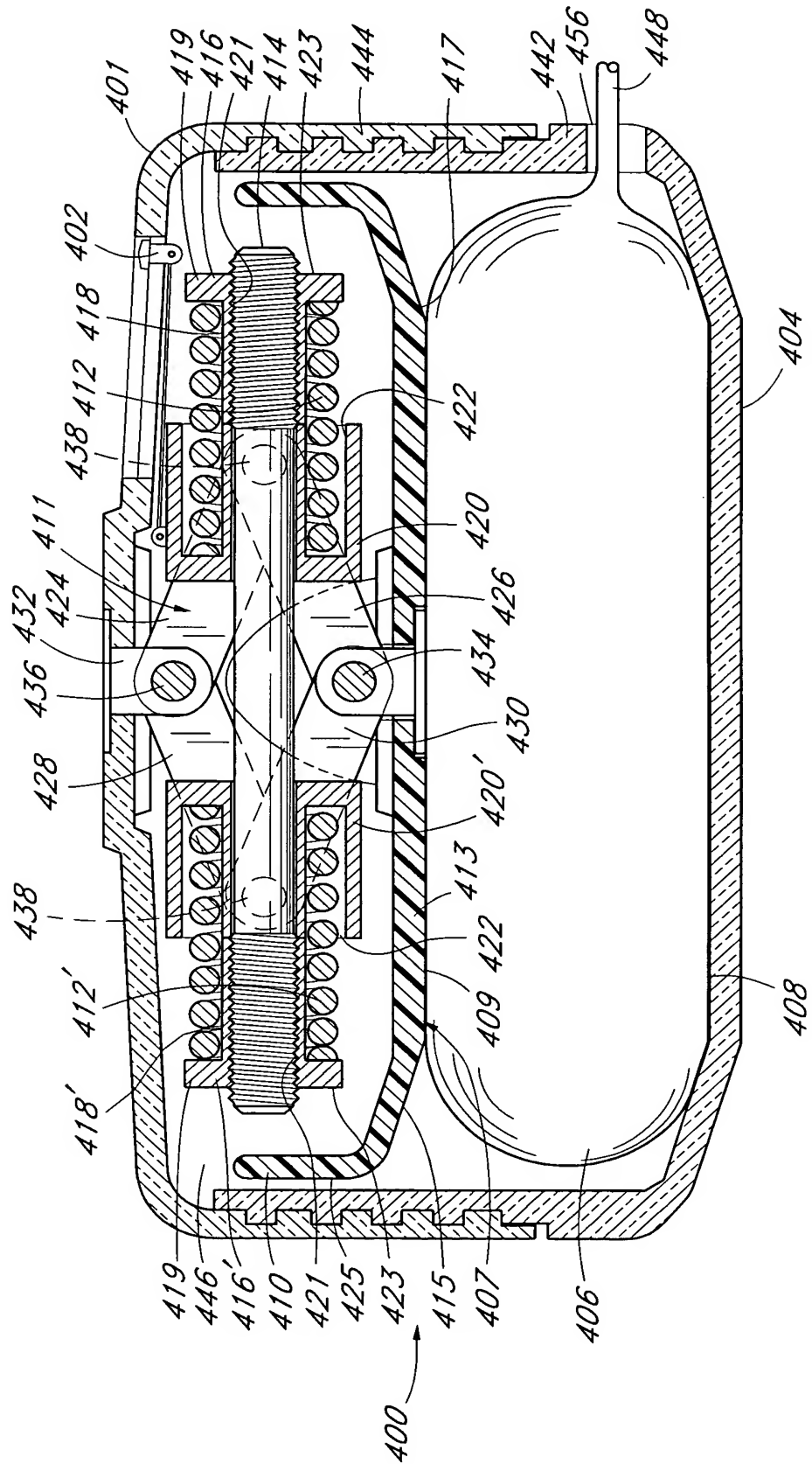


FIG. 53



Kenneth W. Rako et al.

24/45

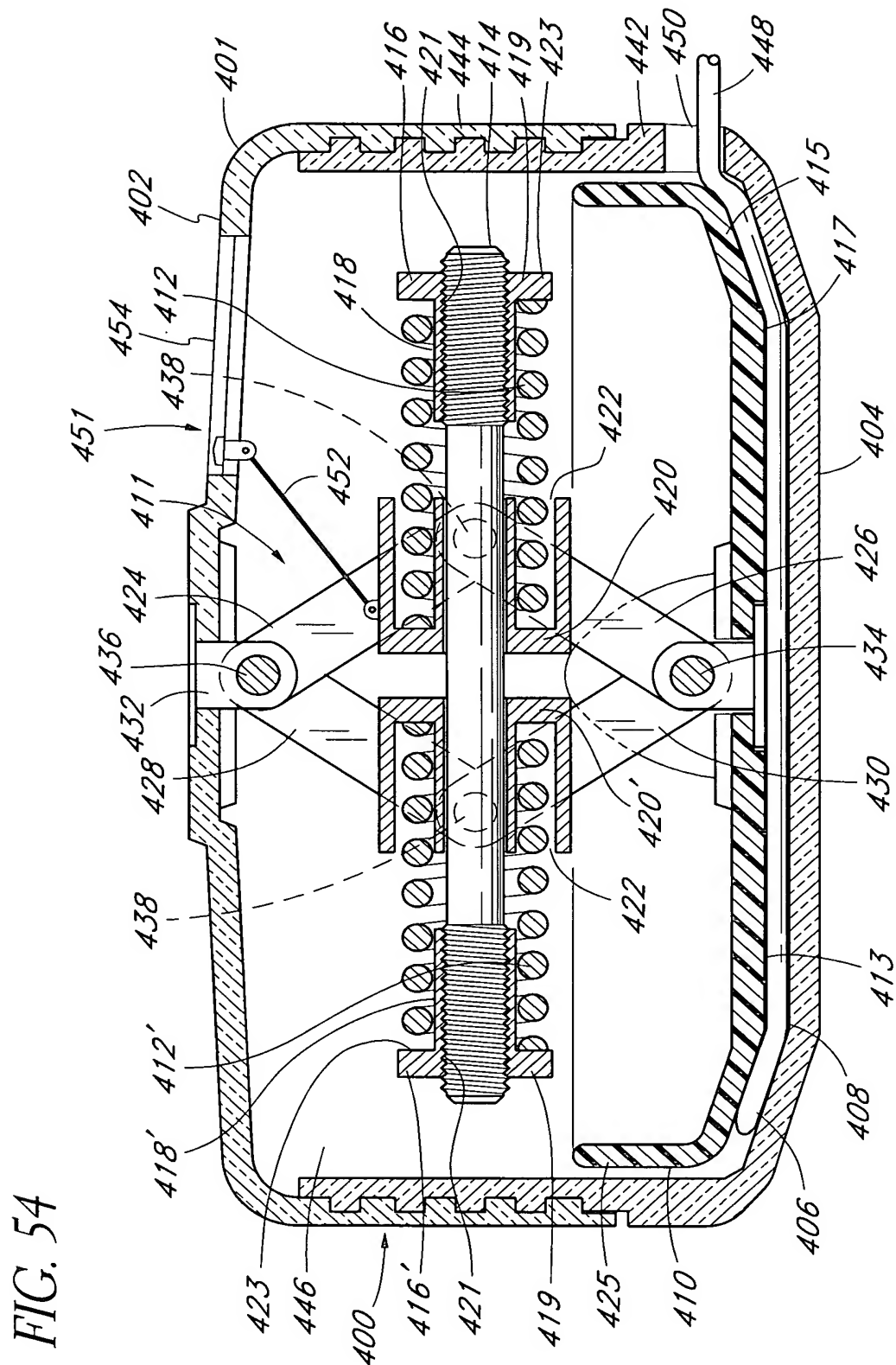
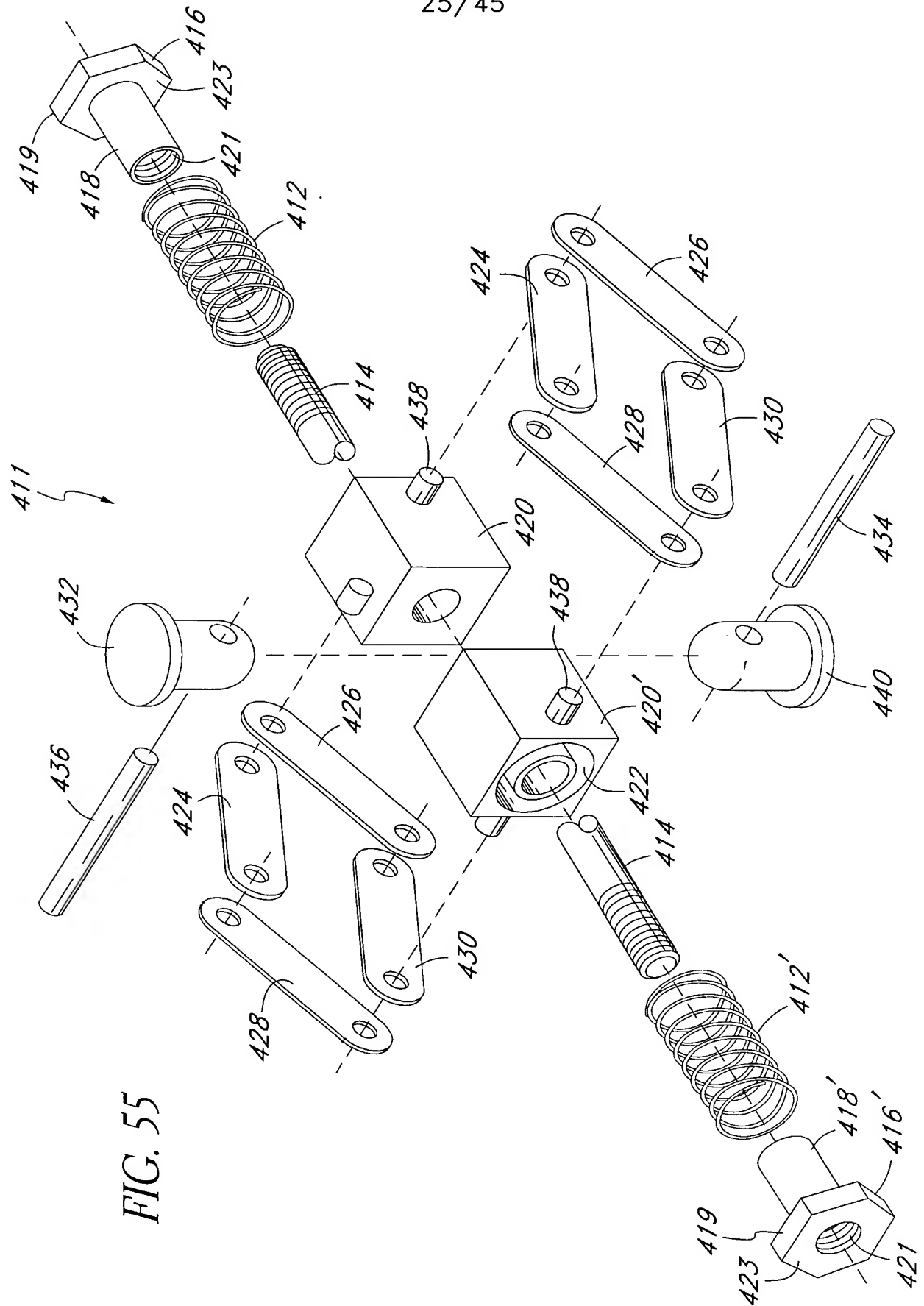
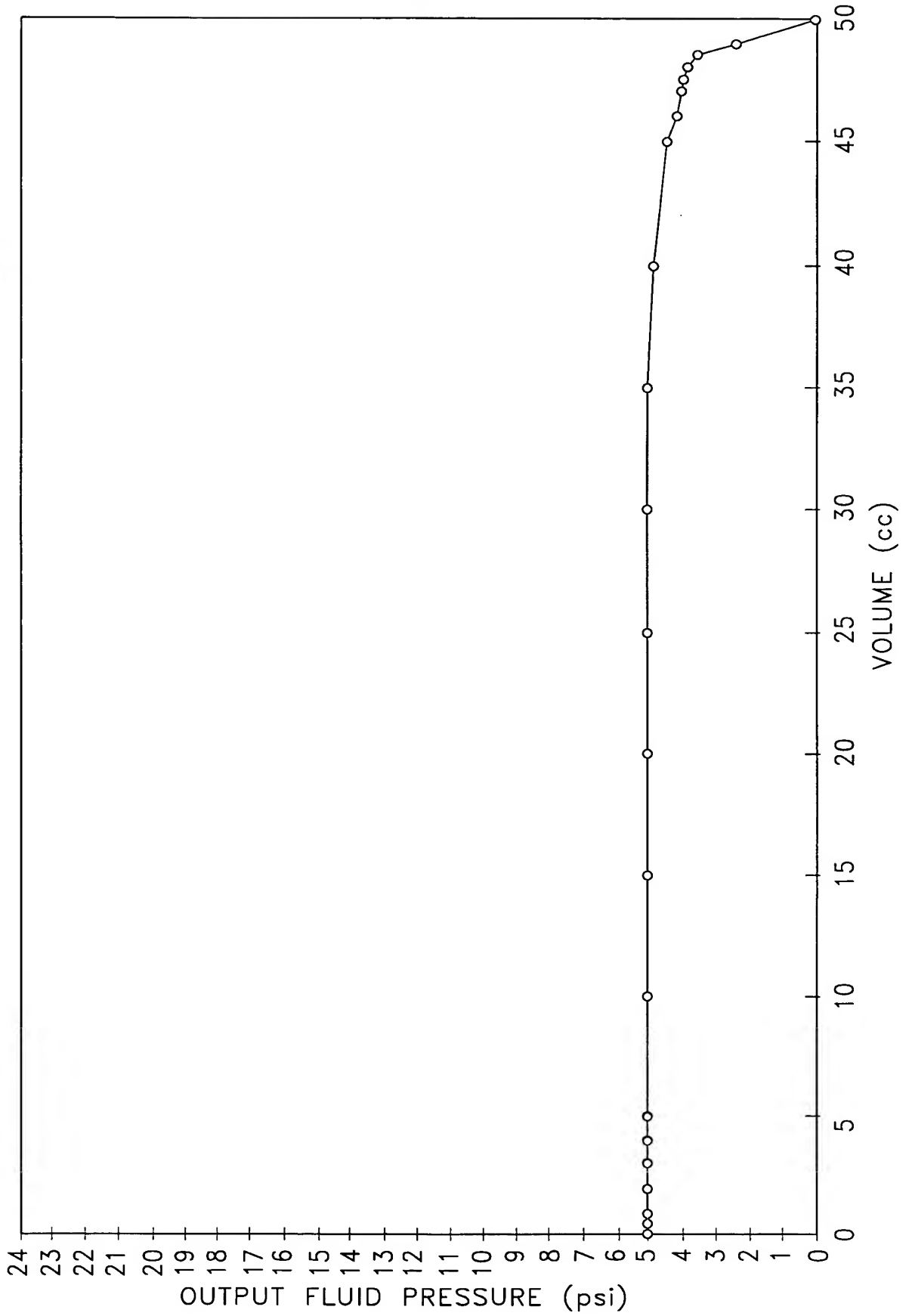


FIG. 54



26/45

FIG. 56



27/45

FIG. 57

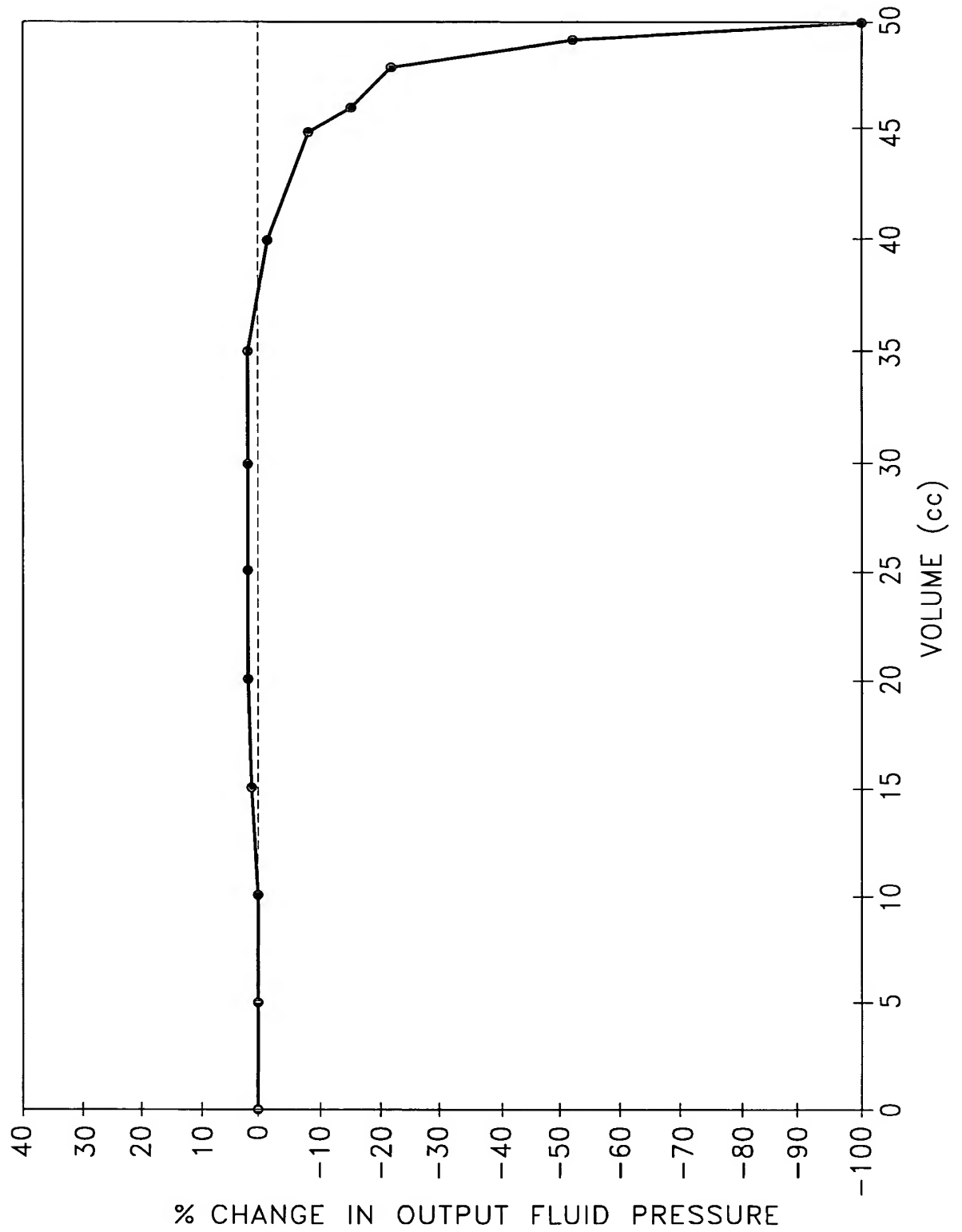


FIG. 58

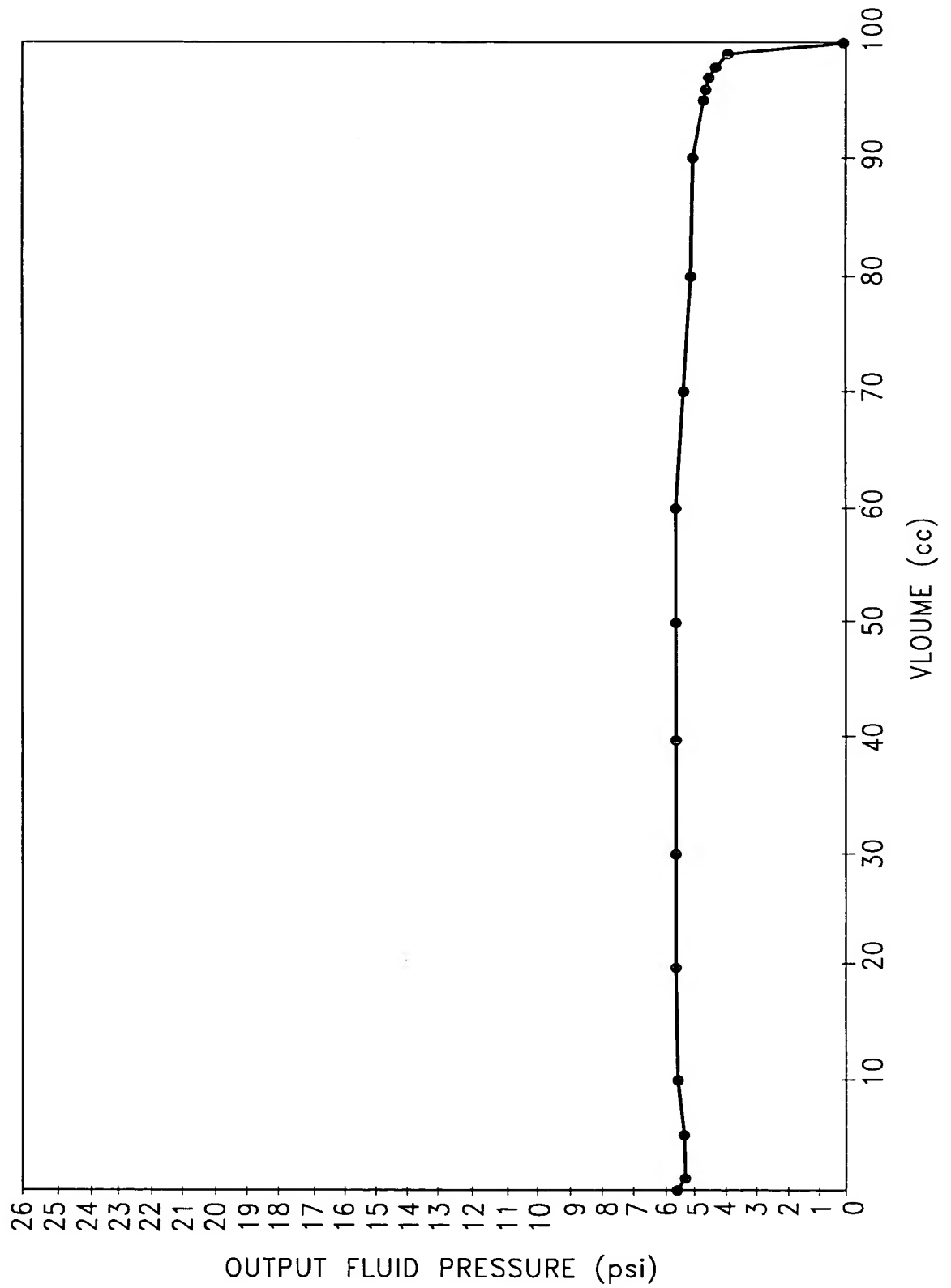
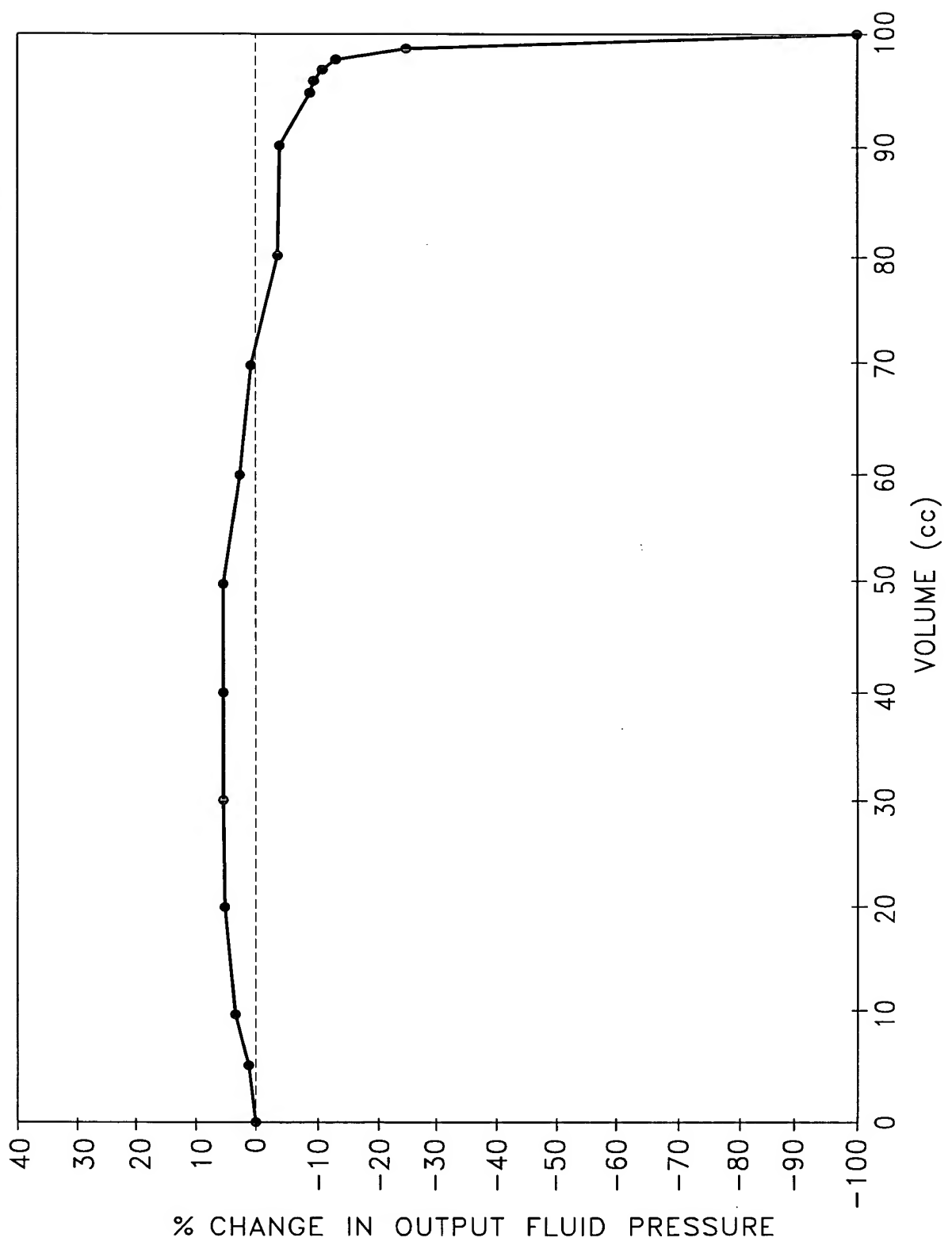
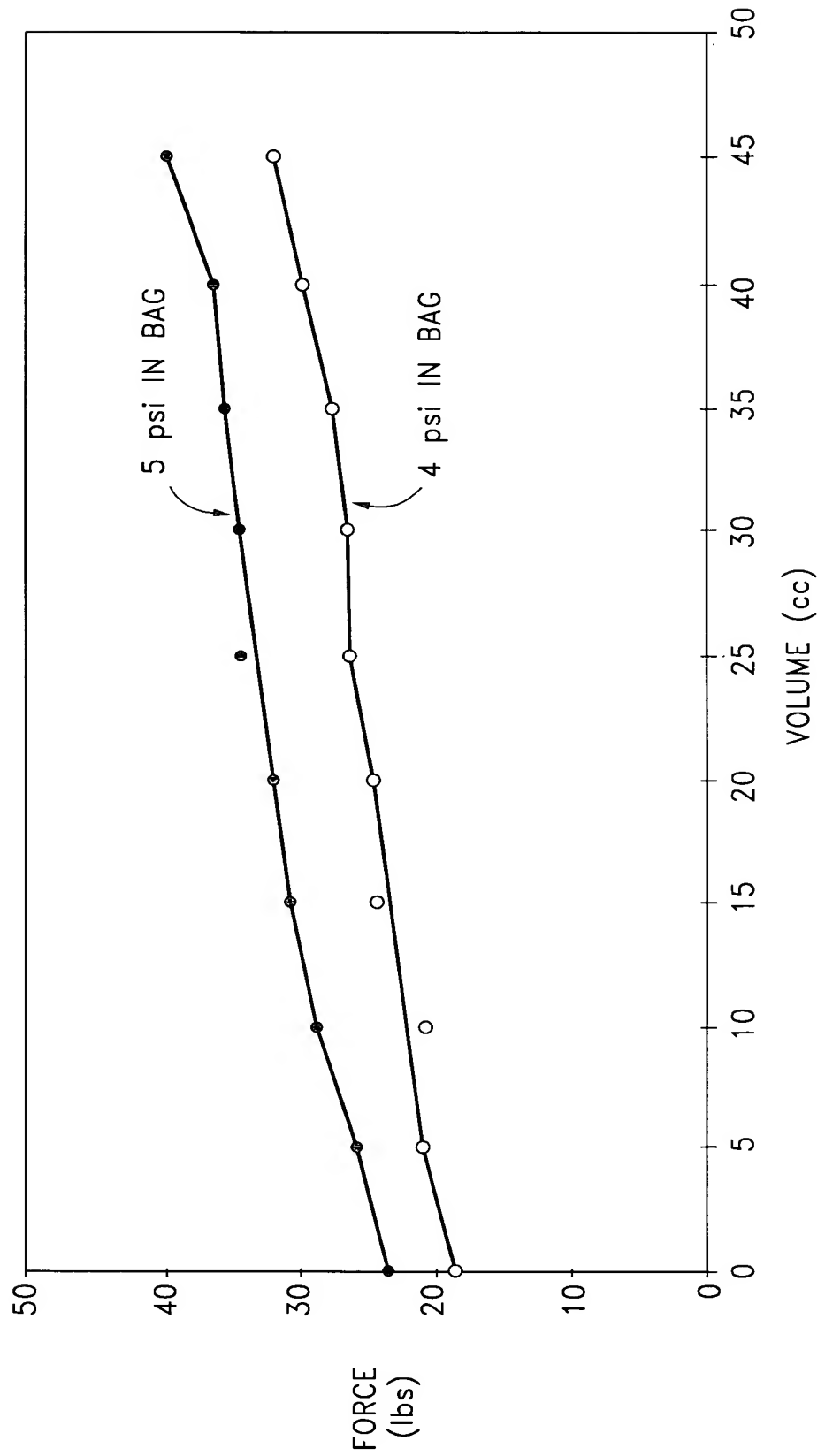


FIG. 59



30/45

FIG. 60



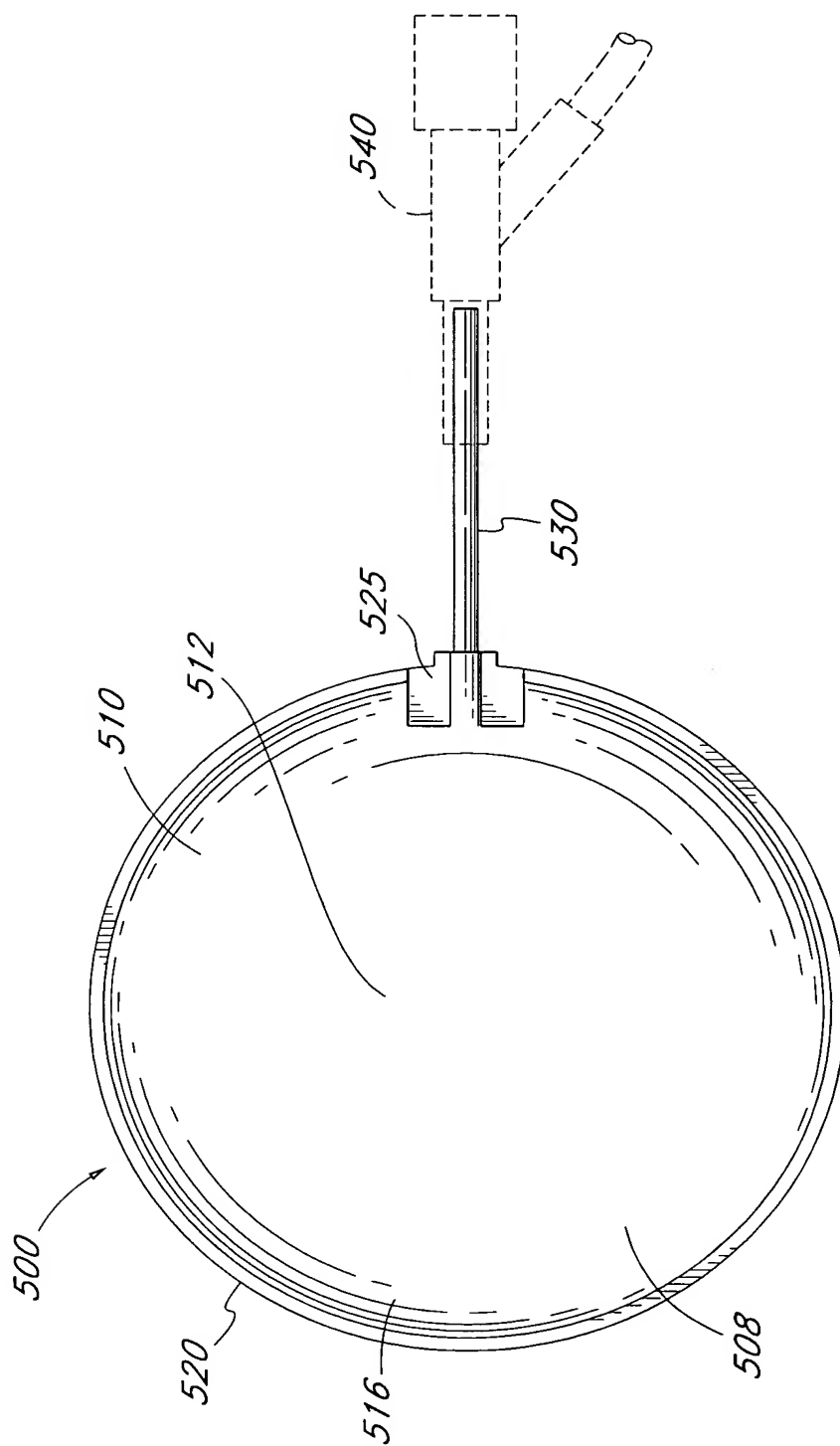


FIG. 61

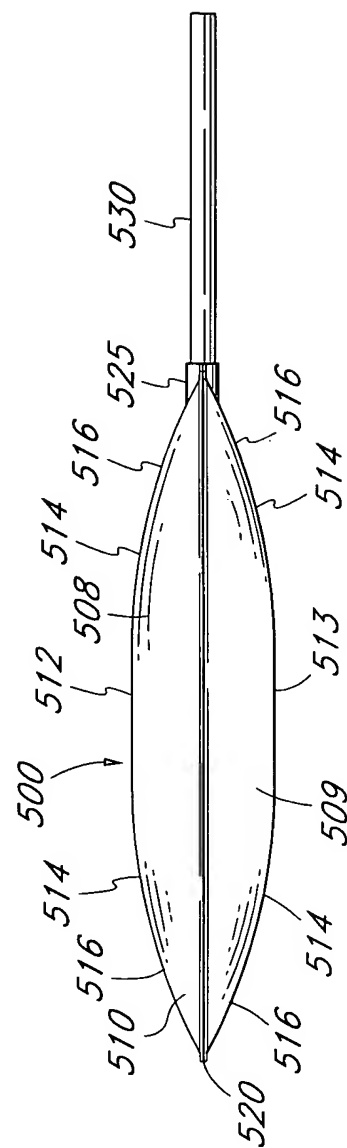


FIG. 62

FIG. 63

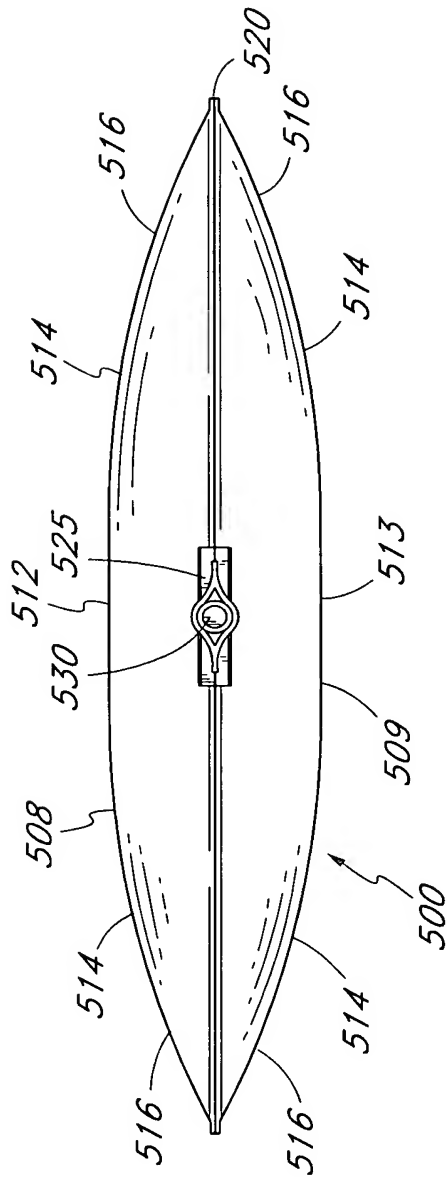


FIG. 64

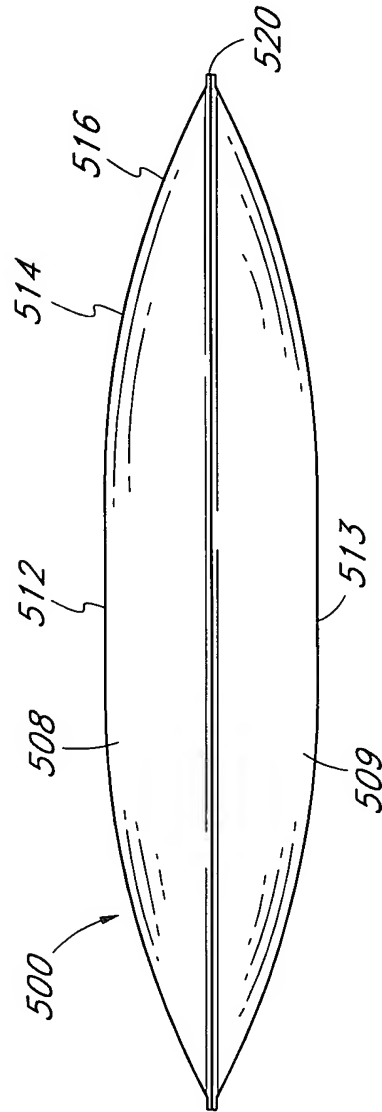
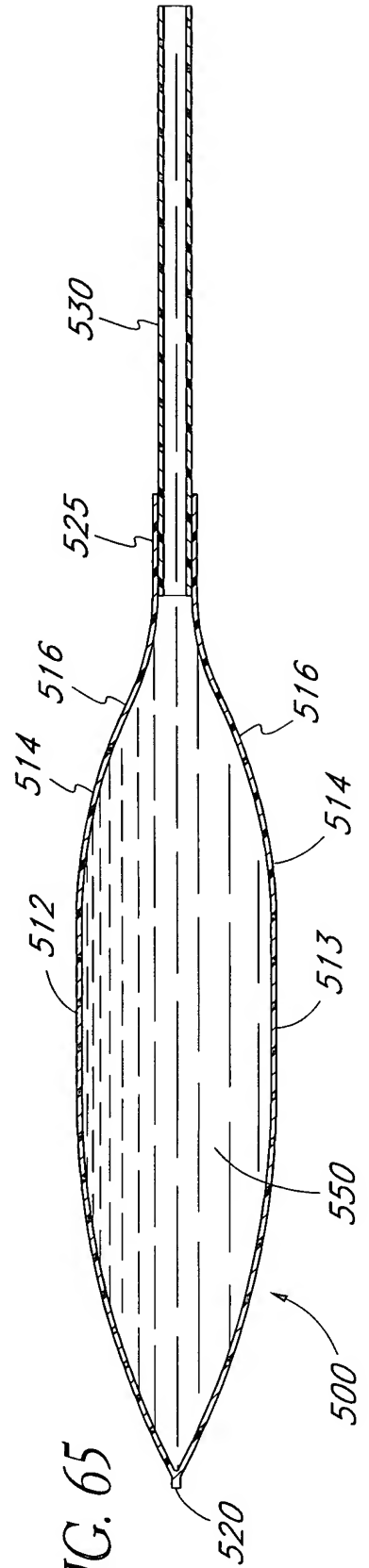
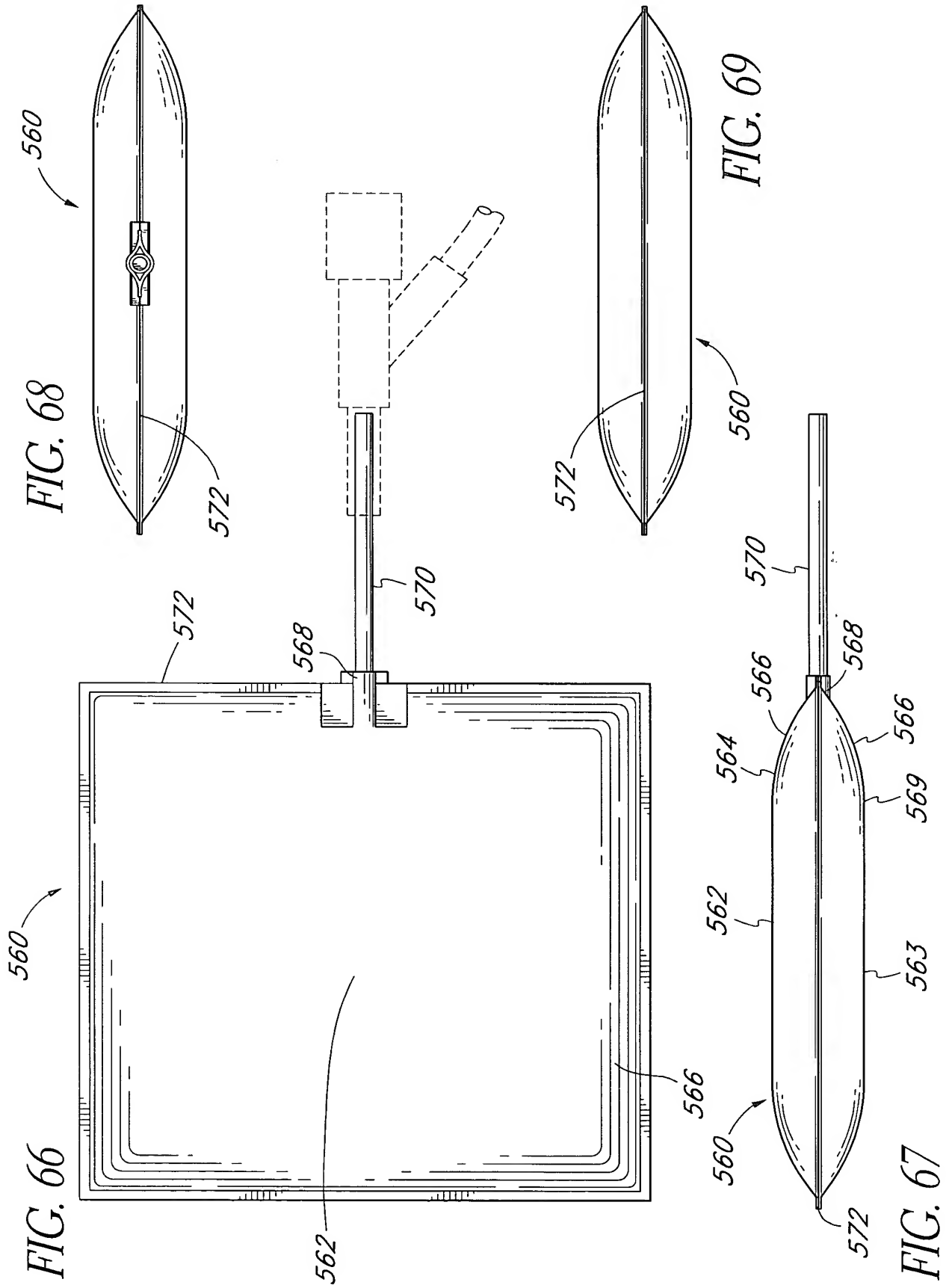
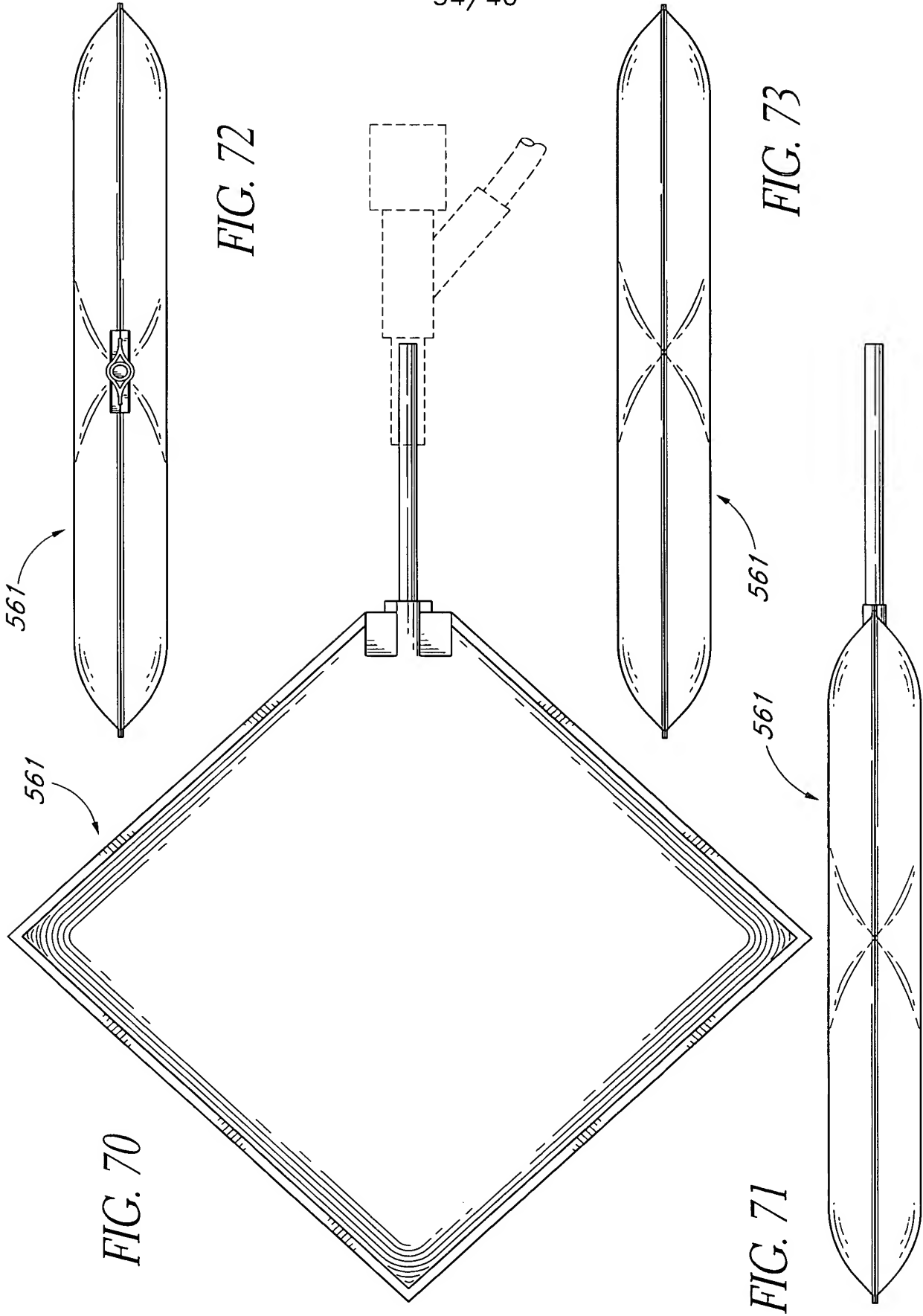


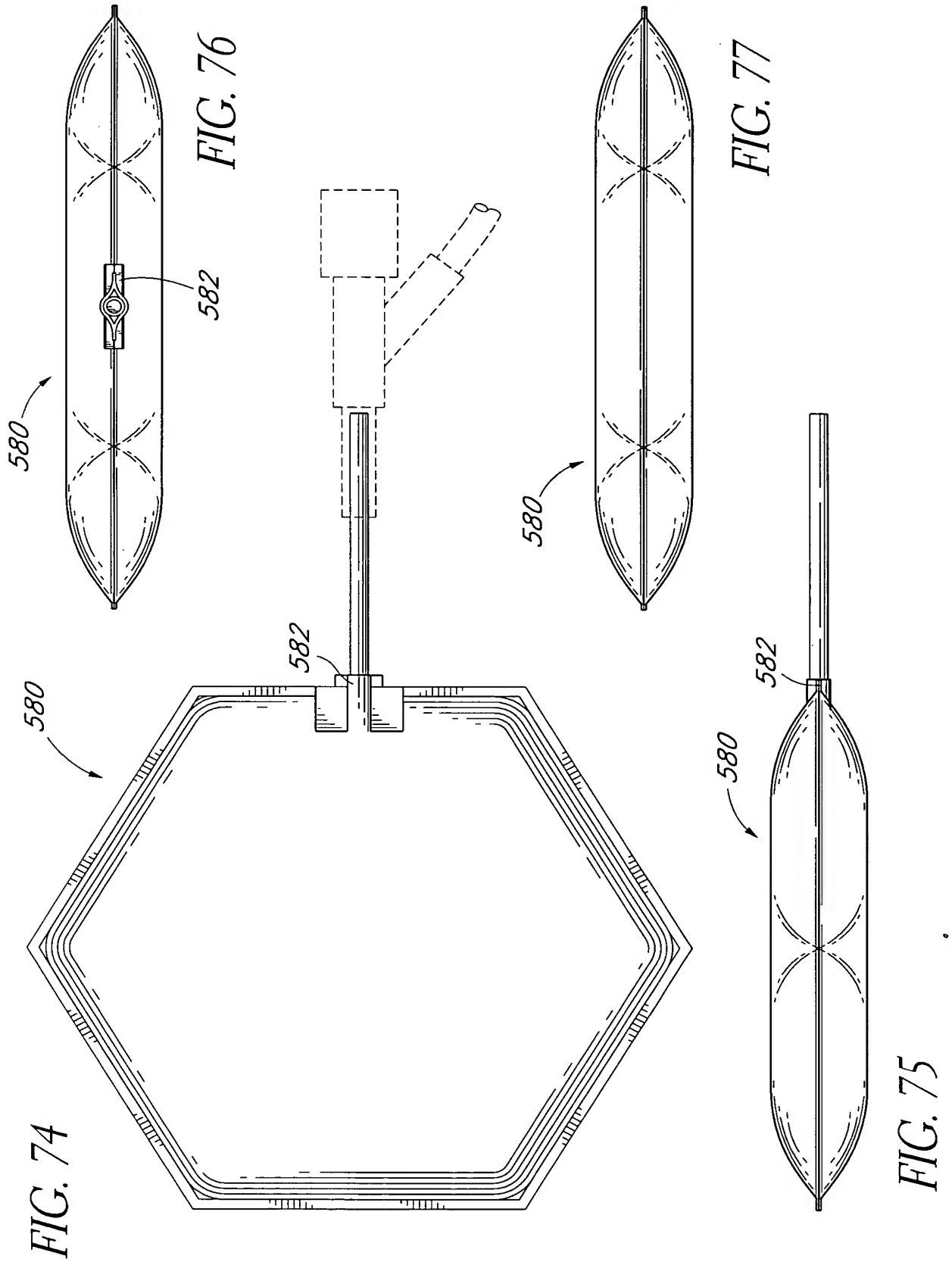
FIG. 65

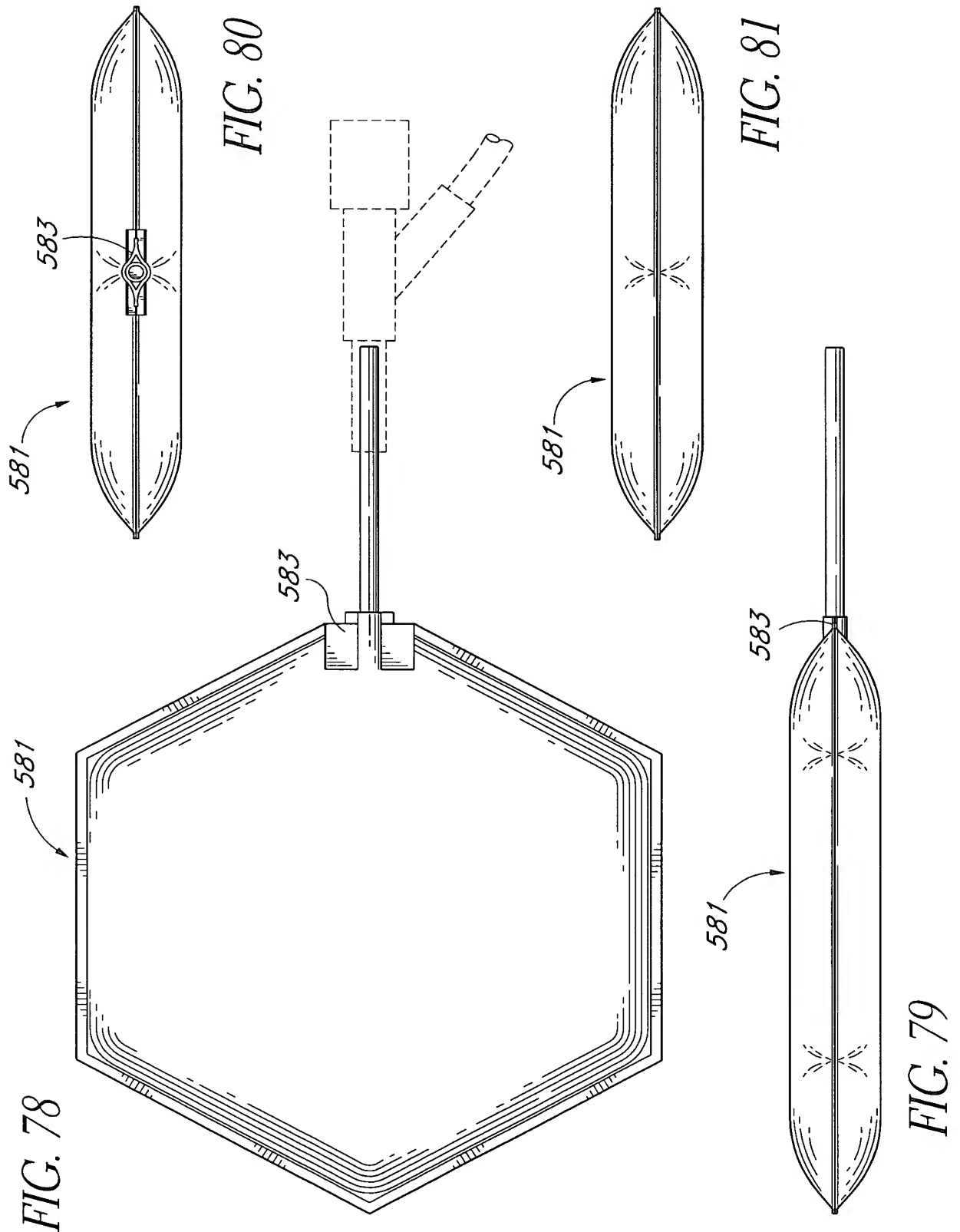


33/45









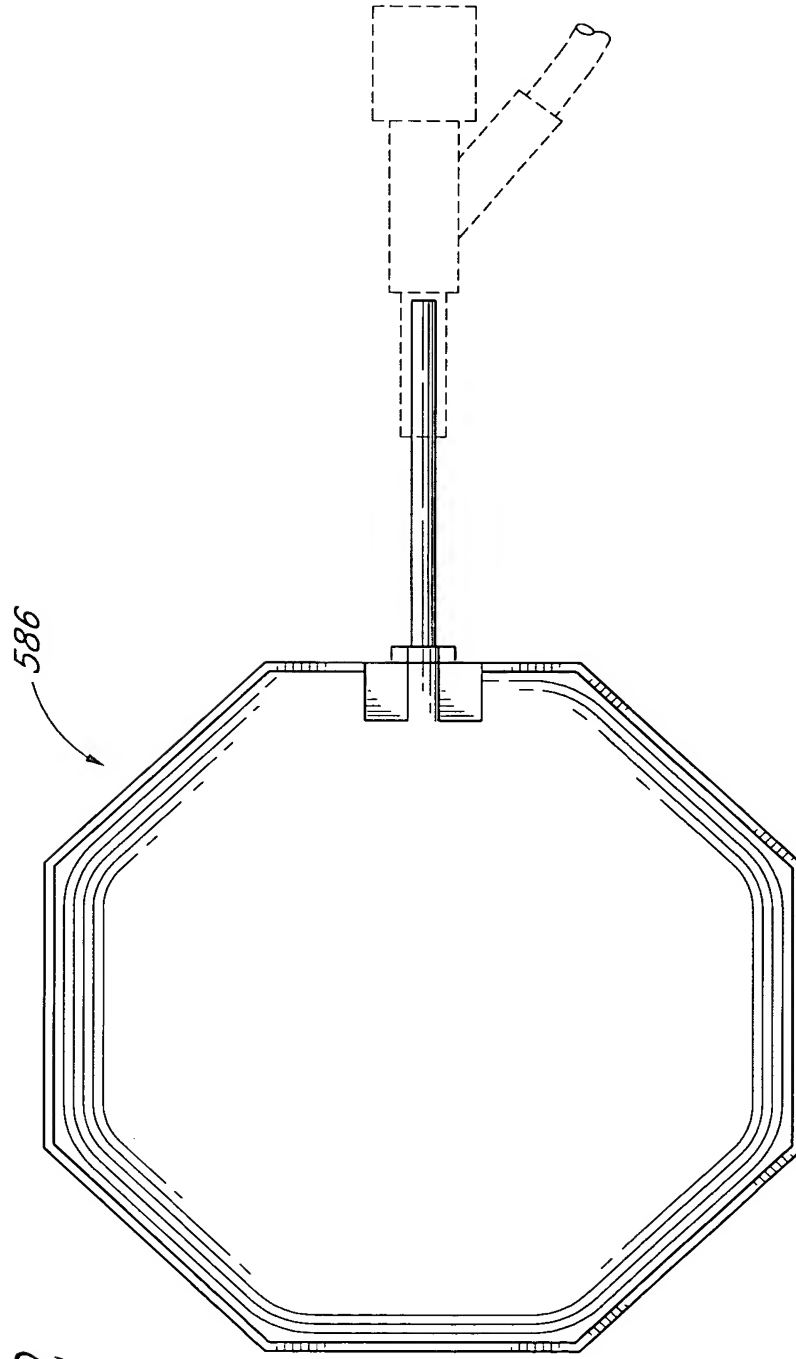


FIG. 82

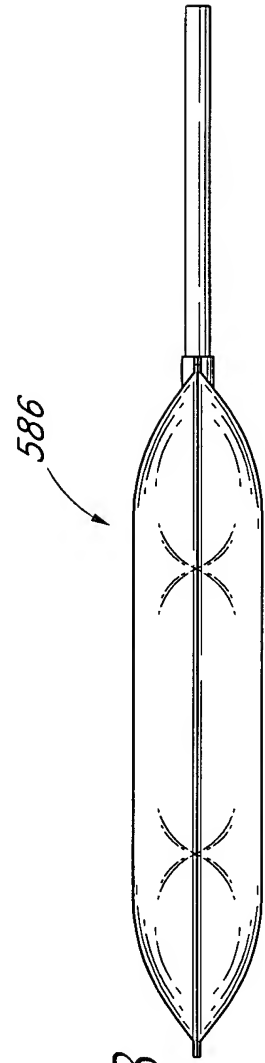


FIG. 83

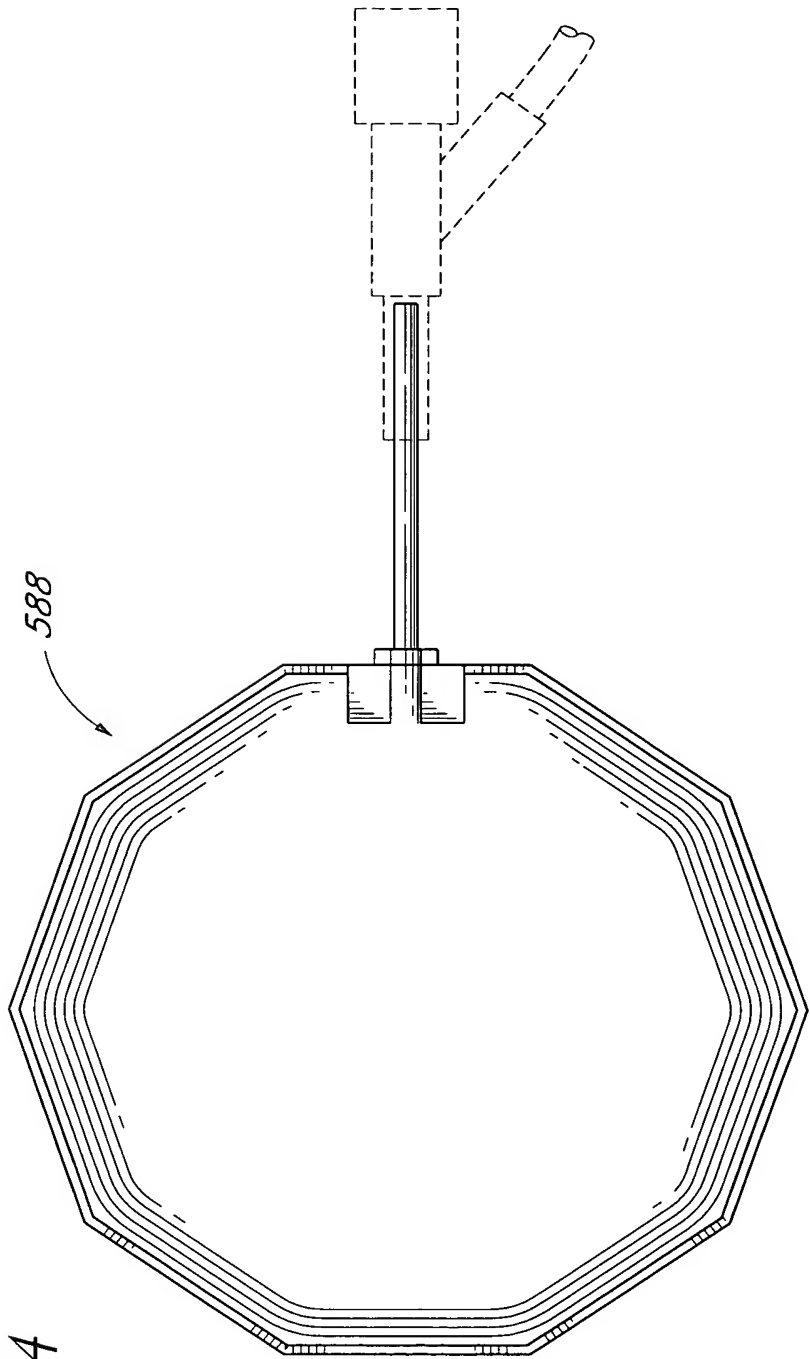


FIG. 84

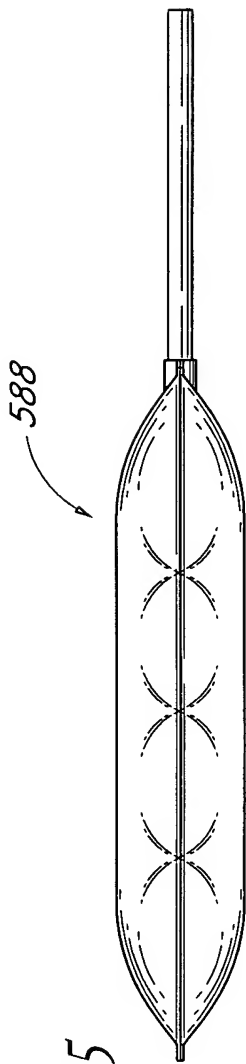


FIG. 85

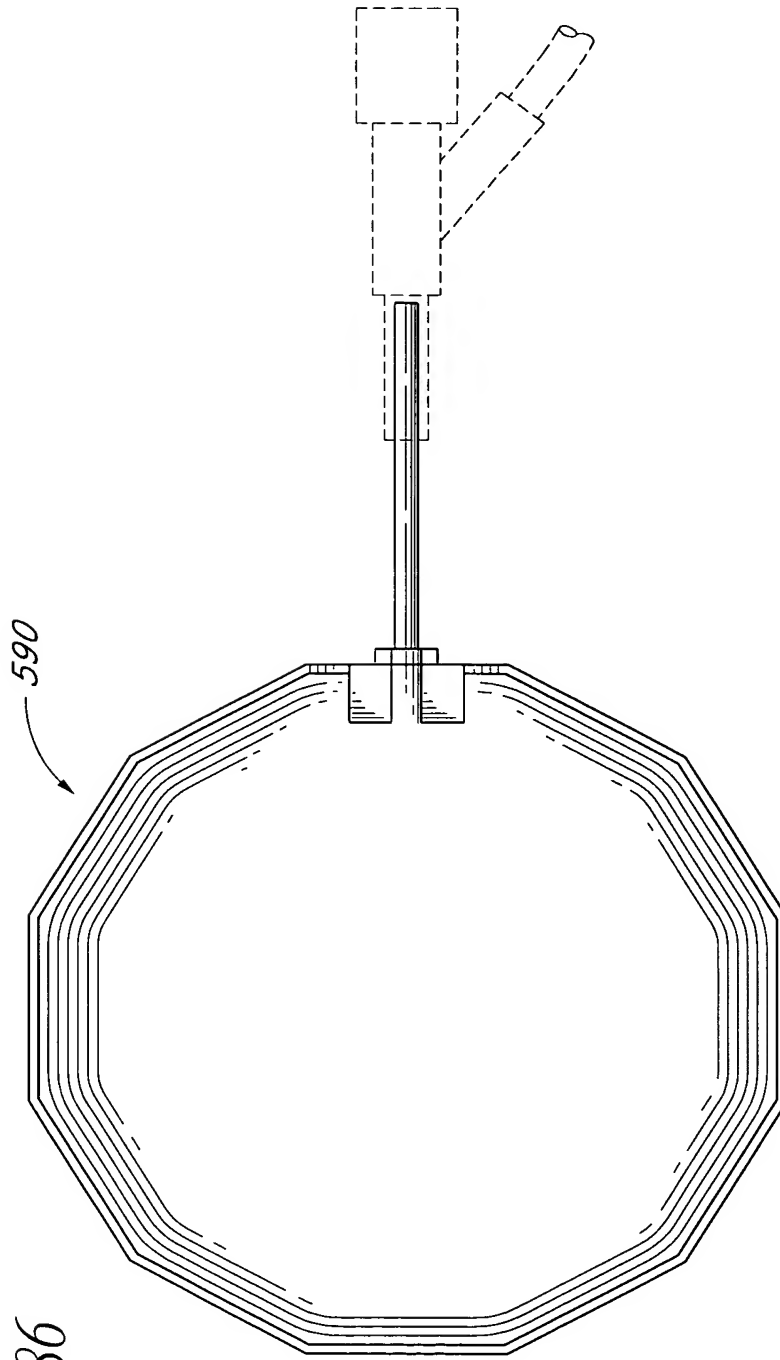


FIG. 86

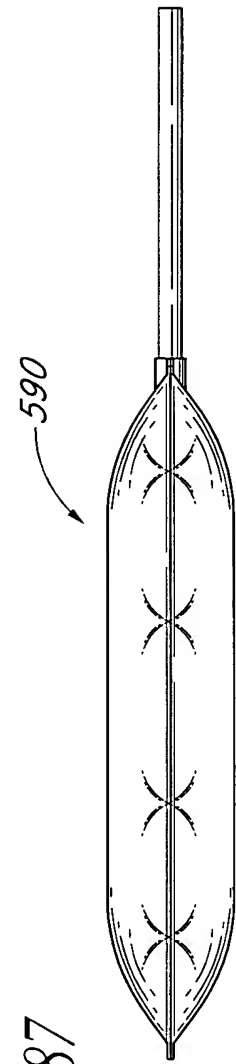
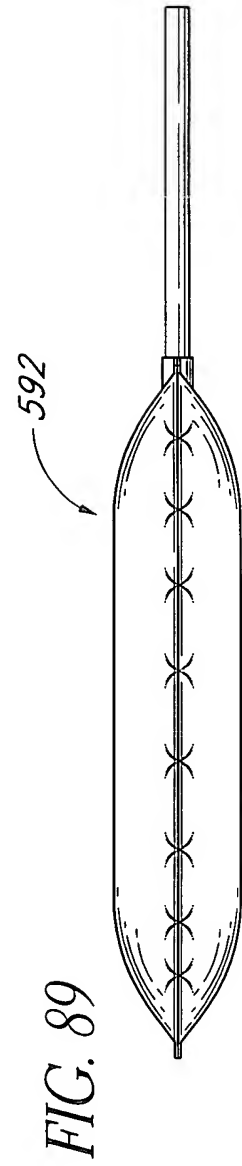
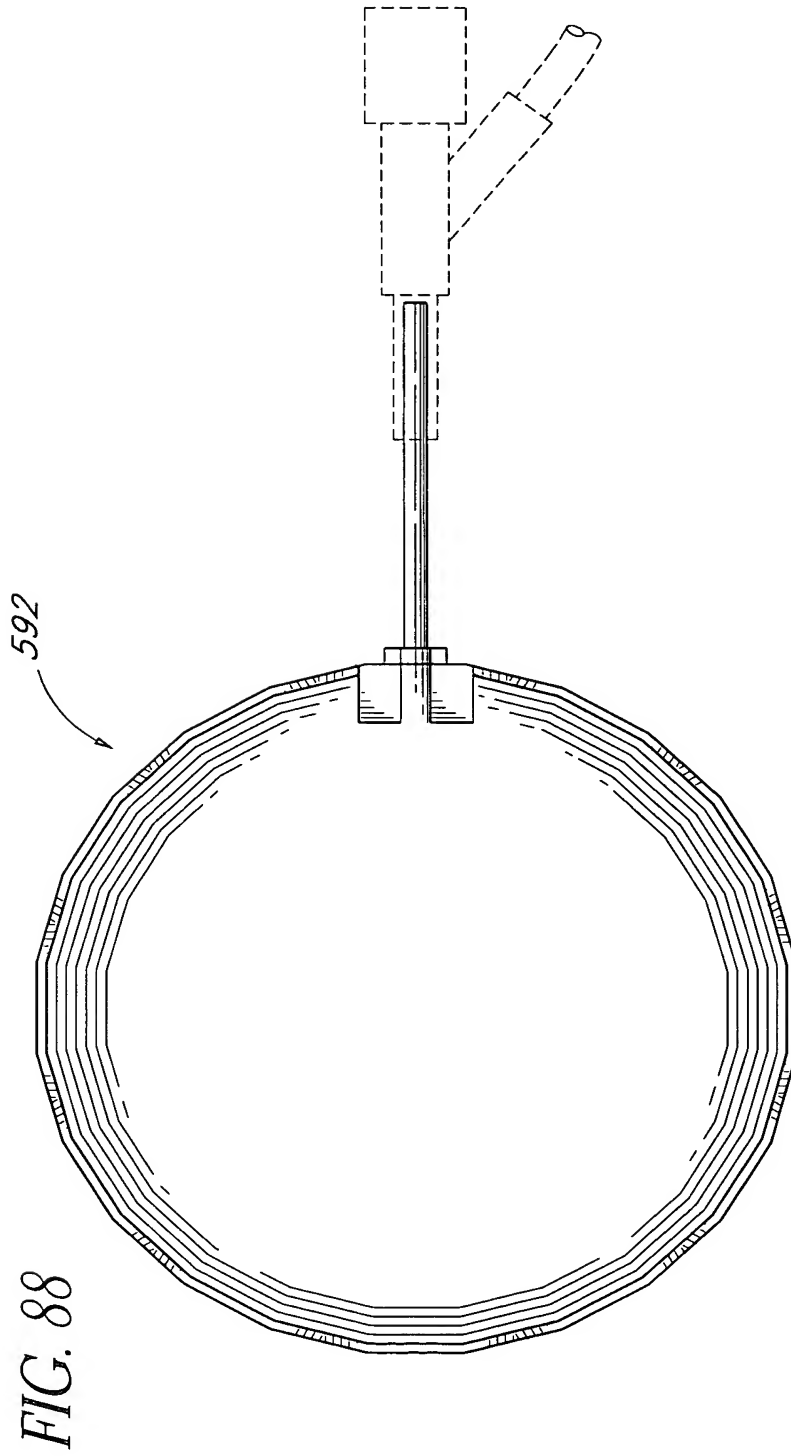


FIG. 87



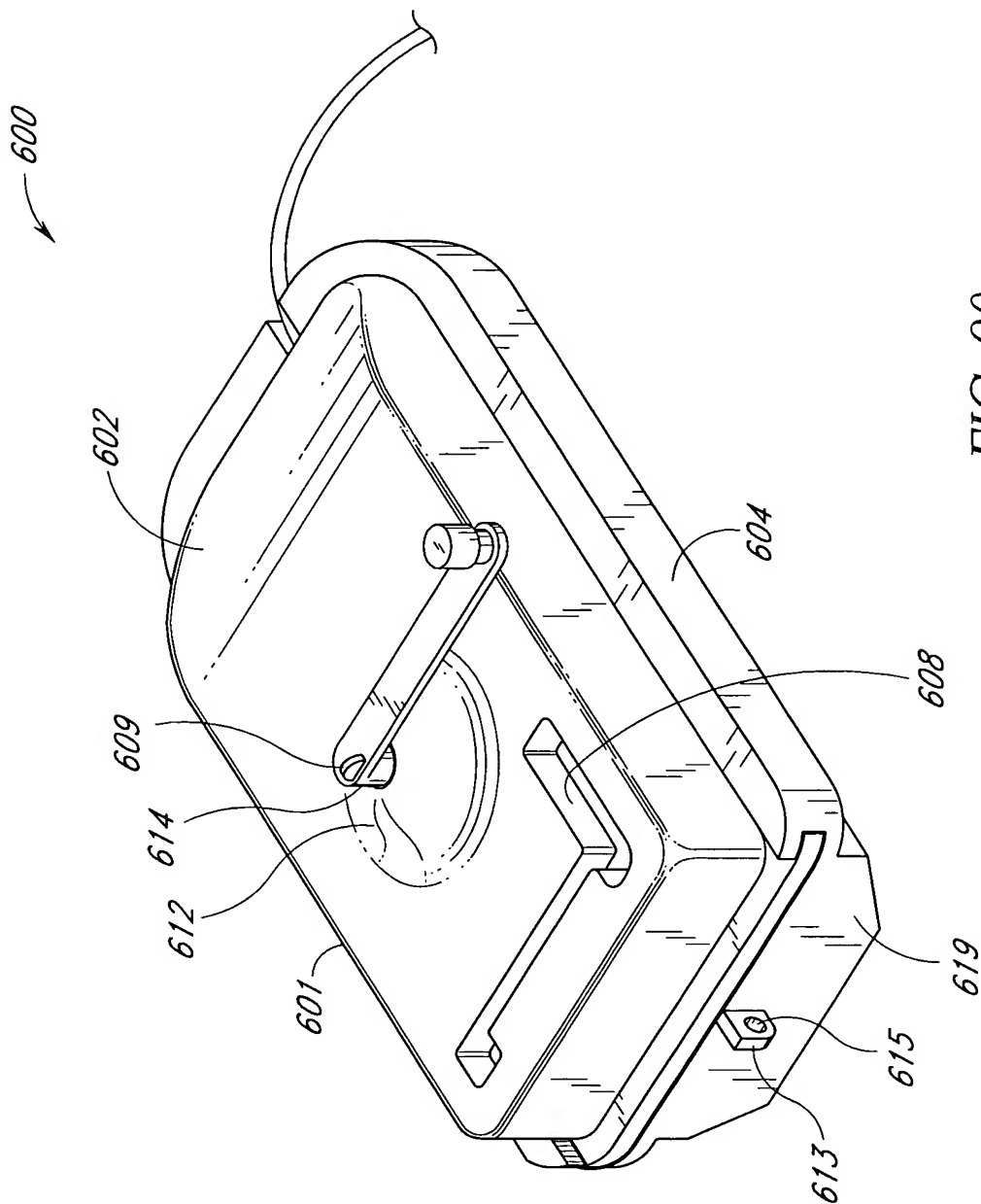


FIG. 90

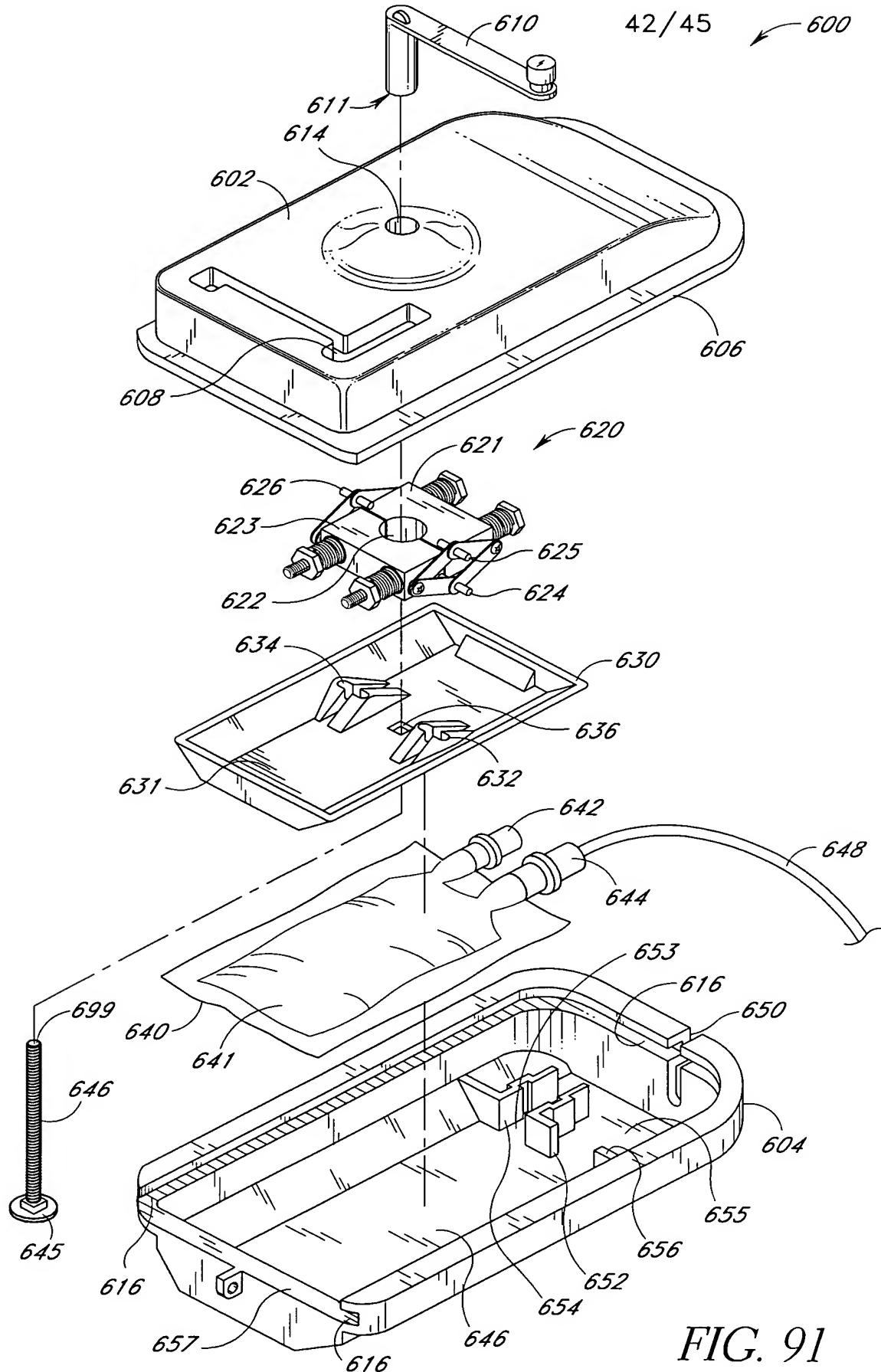
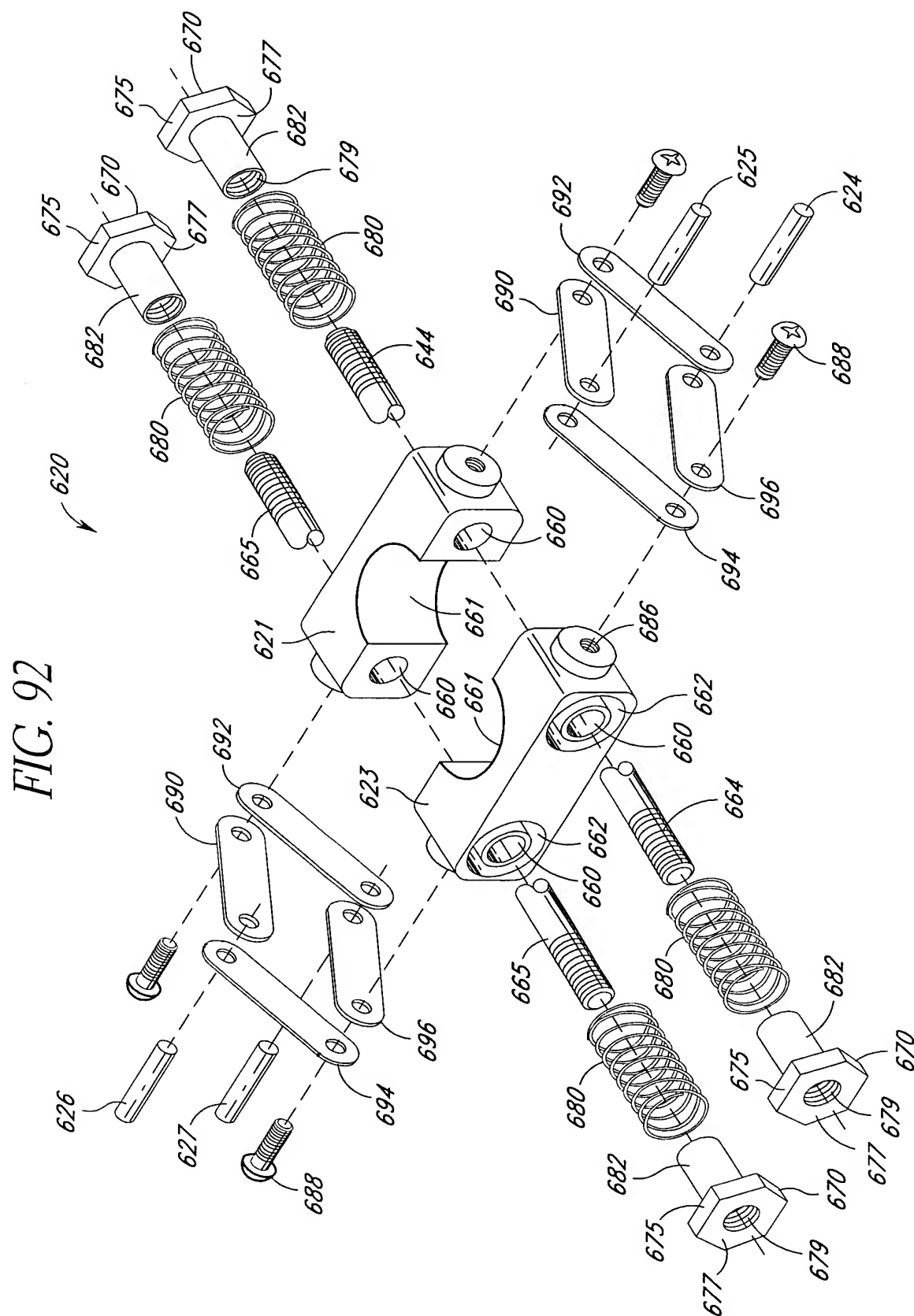


FIG. 91

Kenneth W. Rako et al.

43/45



Kenneth W. Rako et al.

44/45



45/45

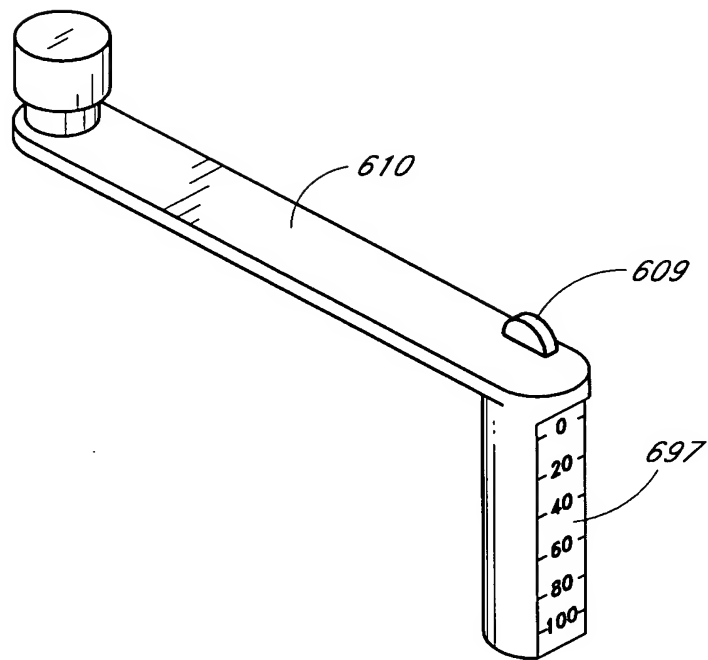


FIG. 95

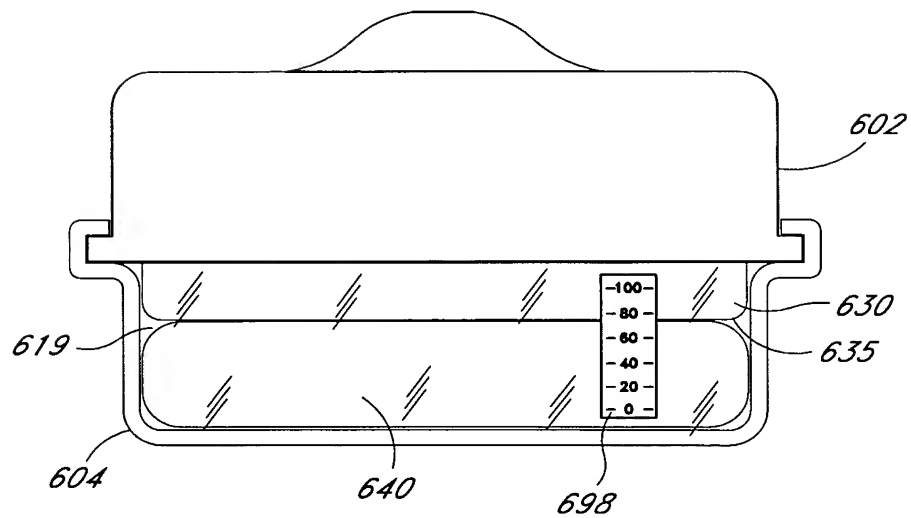


FIG. 96